



YILDIZ TEKNİK ÜNİVERSİTESİ  
FEN BİLİMLERİ ENSTİTÜSÜ

29728

İNSAN SESİNİN SESLİLER İÇİN  
PARAMETRİK ANALİZİ

Elek. Müh. M.Serdar GÜLER

F.B.E. Elektronik ve Hab. Mühendisliği Anabilim Dalı  
Elektronik Programında hazırlanan

YÜKSEK LİSANS TEZİ

Tez Danışmanı : Prof. Şefik SARIKAYALAR

T.C. YÜKSEKÖĞRETİM KURULU  
DOKÜMANTASYON MERKEZİ

İSTANBUL, 1993

## 1. TEZİN ÖZETİ

İnsanlar arası iletişimin esasını birbirleriyle *konuşmaları* tutar. Belki de bu yüzden son yıllardaki en önemli ilgi odaklarından birisi de insan konuşmasının analizi ve sentezidir. Elektronik, bilgisayar ve matematikteki son gelişmeleri kullanarak konuşanı ve konuşulana anlayan makineler yapmak insanlığın yeni hedeflerinin başında gelmektedir. Konuşulana, yani komutları, anlayan cihazların yapılmasıyla insanın cihazlara uzaktan kumanda yeteneğinin ne kadar gelişeceği ortadadır. Ayrıca özürsüz insanların hareketlerinde kazanacakları özgürlük ile başkalarına muhtaç olmadan yaşama şansına kavuşacakları düşüncesi tüm bu çalışmaların manevi dinamosudur. Konuşanı ayırdeden cihazlar da belki tüm güvenlik teknolojisini yeni baştan belirleyecektir.

Bu nedenledir ki bu tezin de ilgi konusu insan sesinin ve daha özelde ise Türkçe'deki sesli harflerin parametrik analizini içermektedir. İnsan sesi denilmesine rağmen inceleme daha özelde erkek sesinin analizinde yoğunlaşmıştır. Çünkü kadın ve çocuk seslerinde harmoniklerin sayısı erkek sesindeki iki katı kadardır ve ses rezonans frekansları da oldukça yüksek bir bölgeye kaymıştır. Sesin, insanın fizyolojik ses üretme aygıtında oluşumunun açıklanmasıyla başlayan tezin içeriğinde, sırasıyla insan ses üretme aygıtının matematiksel modellenmesi, bu modellemeye dayalı genel teorilerin kısaca açıklanması, bu teorilerin en gelişkini ve şu anda en çok ilgi uyandıranı olan *Dorsal Öngörüye Dayalı Kodlama* 'nın açıklanması, bu kodlamanın matematiksel dayanakları ile ispatı, bu teoriye uygun bir elektronik devrenin tasarlanarak bir bilgisayar yardımı ile yapılan analiz sonuçlarının açıklanması yer almaktadır.

Bu tezin gerçekleştirilmesinde bir PC-AT bilgisayardan faydalanılmıştır. Tasarlanan devrede kullanılan elemanlar da Türkiye piyasasından kolayca temin edilebilecek şekilde seçilmiştir.

Bu tezin daha sonraki çalışmalara bir kaynak teşkil etmesi için bizim kullanmadığımız bir takım ses analizi ile ilgili teoriler de zaman zaman açıklanmıştır. İspatlardaki matematiksel formüller ve dayanaklarına da imkan oldukça detaylı değinilmiştir.

## **2. SUMMARY**

Talking is the base of communication between the humans. So, recently one of the most important studying subjects is analyzing and synthesizing the human voice. Making intelligent machines, which understand who is talking and what is said, by using last technologies on the electronic, computers, and mathematical sciences and is the new goal of scientists. It is very clear that making intelligent machines which understand what is said, will increase the facility of remote control of a man. On the other hand injured men can live without help of the others. This thought is also a very important moral power for the scientists. And the machines which understand who is talking, of course will change all of the security technology against the thieves.

Because of these reasons, the subject of this thesis also the human voice and specially voice of the Turkish vowels. Although we said the human voice, the main subject is the voice of the men. Because the harmonics of the women and child are twice of the men's and resonance frequencies of them take place on a very high region. This thesis begins with how does produced the voice in the human voice system, and goes respectively modelling of human voice system, general theories about this model, linear predictive coding which is the most new and most studying theory, mathematical basis of this teori, producing an electronic circuit which converts speech into digital form for a computer, results of the analysis achieved by using a computer.

While analyzing the results of the circuit, we used a PC-AT. All of the selected components easily can be found in the Turkey market.

It is explained some speech analysis theories that we didn't use because we hope that this thesis becomes a source for later studies. And we also try to explain as much as possible the mathematical theories we used.

## **İÇİNDEKİLER DİZİNİ :**

İÇ KAPAK	i
TEZİN ÖZETİ	ii
SUMMARY	iii
DİZİN	iv
1. GİRİŞ	1
2. İNSAN SES ÜRETME SİSTEMİNİN MODELLENMESİ	3
3. SES ANALİZİNDE KULLANILAN YÖNTEMLER	5
3.1. Kısa Süreli Frekans Analizi	5
3.2. Ayrık Fourier Analizi	6
3.3. Filtre Dizisi	6
3.4. Temel Frekansın (Perde Peryodunun) Çıkarımı	6
3.5. Cepstral İşleme	7
3.6. Formant İzleme Algoritmaları	7
4. DO RUSAL ÖNGÖRÜ MODELLEMESİ VE ANALİZİ	8
4.1. Bilinen İşaret	10
4.1.a. Otokorelasyon Yöntemiyle Çözüm	12
4.1.b. Kovaryans Yöntemiyle Çözüm	13
4.2. Raslantısal İşaret	13
4.2.a. Dura an Durum	14
4.2.b. Dura an Olmayan Durum	14
4.3. Öngörücü Parametrelerinin Hesaplanması	15
4.3.1. Do rudan Hesaplama Yöntemi	15
4.3.2. Tekrarlı Hesaplama Yöntemi	17
4.4. Kutup Sayısının En Uygun secimi	18
5. PROJE ADIMLARININ AÇILANMASI	19
5.1. Veri İşleme	22
5.2. Örüntü (Pattern) Tanıma	24
5.2.a. Euclide Uzaklık Ölçüsü	25
5.2.b. Mahalanobis Uzaklık Ölçüsü	25
5.2.c. Dinamik Zaman Saptırma	26
5.3. Dinamik Zaman Saptırması ile Örüntü Tanıma	26
5.4. Çerçeveden Çerçeveye Uzaklık Ölçüleri	30
6. GELİŞTİRİLEN BİLGİSAYAR PROGRAMLARI	31
7. SONUÇLAR	34
KAYNAKLAR	35
ÖZGEÇMİŞ	36
EK. GELİŞTİRİLEN PROGRAMLAR	37

## 1. GİRİŞ

Ses, hava ortamındaki boyuna titreşimlerden (akustik dalgalardan) meydana gelir. Akustik anlamda ses, hava basıncındaki hızlı ve kararlı dalgalanmalardan ibarettir. Bu basınçlar, insanlarda ki fizyolojik ses üretme aygıtınca üretilir ve çevreye yayılır. İnsanın fizyolojik ses üretme aygıtı, esas olarak, ses bölgesi ( ağız bölgesi boşluğu ile yerleşik kütleler ile burun bölgesi boşluğu) ve bu bölgenin akustik filtreleme davranışından ibarettir. Şekil 1.1 'de insan kafatasının X ışınlarıyla çekilmiş bir görüntüsü vardır. Bu görüntü ses aygıtını ve onun temel bileşenlerini (çene, dil, küçük dil, gırtlak ve ciğerler) açıkça göstermektedir. Nefes borusu düzgün, şekli değişebilen, 17 cm uzunluğunda akustik bir tüptür. Bir ucu ses telleriyle diğer ucu ise dudaklarla sonlandırılmıştır. Nefes borusunun geçiş bölgesi kesit açıklığı dudaklar, çene, dil, ve küçük dilin yerleşimince belirlenir ve 0 ile 20 cm<sup>2</sup> arasında değişir. Seslilerin üretilmesinde önemli rolü olan ses tellerinin titreşen kısımları yaklaşık 18 mm. uzunluğundadır. Yardımcı bir boşluk olan burun bölgesi boşluğu, küçük dilin kapı görevi gören hareketiyle ağız bölgesi boşluğuna bağlanır. Burun bölgesi küçük dilden başlar ve burun deliklerinde biter. İnsanlarda bu boşluk yaklaşık olarak 12 cm. uzunluğunda ve 60 cm<sup>3</sup> hacindedir. Burunla ilgili olmayan sesler boyunca, küçük dil burun boşluğunu mühürler ve burun deliklerinden dışarıya ses yayılmaz.

Ses sistemindeki üretimine göre sesler esas olarak iki temel gruba ayrılır :

### A) Sesliler (a,e,i,o,ö,u,ü) ;

Sesliler için, hava basıncı ciğerlerde yükseltilip, ses tellerine doğru zorlanarak ses tellerinin titreştirilmesi sağlanır. Ses tellerini uyaran bu akış sonucunda periyodik benzeri, yaygın spektrumlu darbeler ortaya çıkar. Ses bölgesi belirli akustik rezonans frekanslarını sağlayacak bir biçimde, ses tellerinden gelen bu periyodik benzeri darbeleri bir çeşit filtrelemeden geçirerek doğru sesliyi üretir. Sesliler için önemli olan bu akustik rezonans frekanslarına *formant frekansları* denilir. Seslerin anlaşılır olmasında özellikle ilk üç formant frekansı belirleyicidir. Çünkü işaretin enerjisinin önemli bir kısmı bu ilk üç frekansta toplanmıştır. Daha yüksek dereceden formant frekansları ise sesin kalitesi üzerinde etkilidir. Tablo 1.1 'de sesliler için yaklaşık olarak ilk üç formant frekansı ve Şekil 1.2 'de ise seslilerin ağızdan çıkışı esnasında ağız bölgesinin aldığı şekil görülmektedir. Ancak verilmiş olan bu formant frekansları kesin değerler olmayıp kişiden kişiye ve kullanılan çıkarım yöntemine göre değişebilmektedir. Ses tellerinin ürettiği darbeler arası periyoda *perde periyodu* denilir. Perde periyodu işaretin temel frekansını yani perdesini verir.

**B) Sessizler (b,c,ç,d,f,g,h,j,k,l,m,n,p,r,s,ş,t,v,y,z) ;**

Ses bölgesi sessizlerin üretiminde ses tellerini kullanmaz. Sessizleri de ses bölgesindeki üretilişlerine göre kendi içerisinde dört alt gruba ayırabiliriz :

**I) Sürtme sesi çıkaran sesler (frikatif sesler = f,v,s,z) ,** ses bölgesinin bazı noktalarında boğazlar oluşturulup, çalkantı (türbülans) teşkil edecek bir biçimdeki havanın oluşturulan bu boğazlardan geçmeye zorlanmasıyla meydana gelir.

**II) Patlama yapan sesler (p,ç,t,k,b,c,d,g),** ses bölgesininin bir noktada tamamen kapatılıp, bu kapama zaman ardındaki basıncın artırılması ve kapamanın birdenbire serbest bırakılmasıyla meydana gelir.

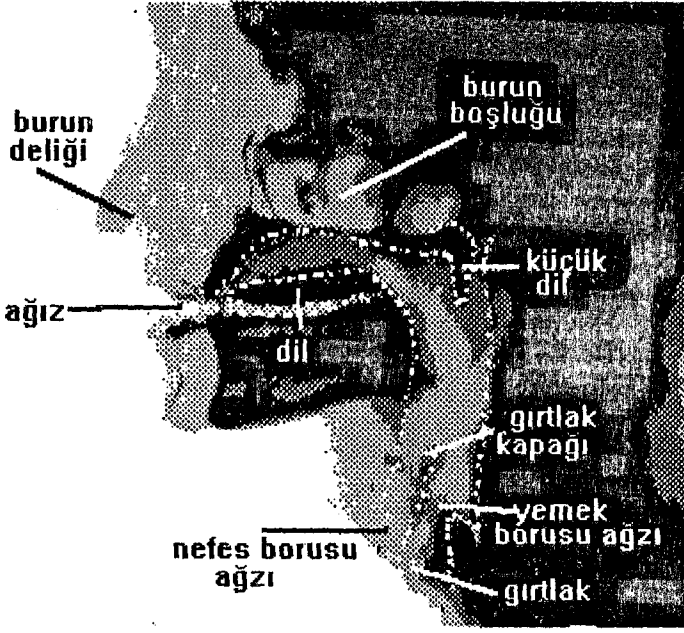
**III) Burun boşluğunu kullananlar (m,n),** küçük dilin müsaade etmesiyle sesin, ağız bölgesine yardımcı bir boşluk olan burun boşluğundan da yayılmasıyla oluşturulurlar.

**IV) Sesli benzeri sessizler (l,r,y),** diğer sessizlerden farklı olarak bu sessizler periyodik benzeri bir davranış sergilerler.

## **2. İNSAN SES ÜRETME SİSTEMİNİN MODELLENMESİ**

Yukarıda da anlatıldığı gibi seslilerin uyarım kaynağı darbeli ve periyodiktir. Harmonikleri ise  $1/f^2$  oranıyla genliği azalan bir çizgisel spektruma sahiptir. Ses sistemi, darbeli uyarım kaynağına bu formantlara uygun rezonans karakteristiğini yüklemek için zamanla değişen bir filtre gibi davranır ve filtrenin transfer fonksiyonunda sadece kutuplar vardır.

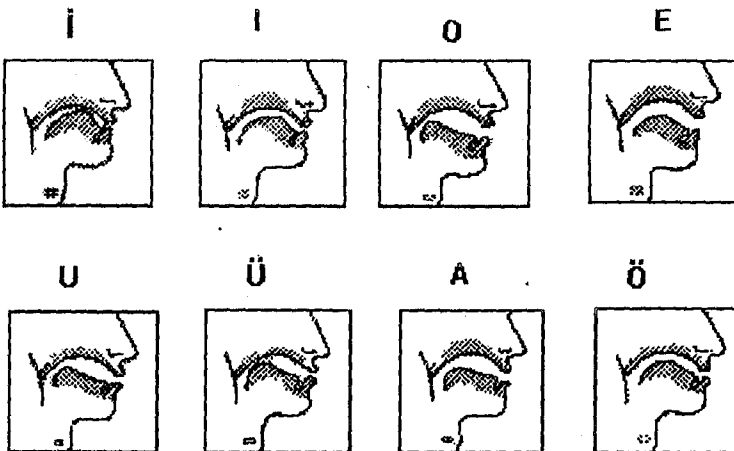
Sessizler nispeten düzgün bir spektruma sahip bir gürültü kaynağıyla uyarılırlar. Sessizler için bu uyarım kaynağına uygulanan transfer fonksiyonu yaklaşık olarak bir çift kutup ve bir sıfırdan ibarettir. Frikatif seslerin çıkarılmasında hem darbeli uyarım kaynağı ve hem de beyaz gürültü kaynağı birlikte kullanılır. Sesli ya da sessiz, çevreye yayılan ses transfer fonksiyonunun kendisine yükleyeceği rezonansları da beraberinde taşıyacaktır. Şekil 2.1 'de görüldüğü gibi ses bölgesini uyarım kaynağı ve filtre olarak ayırmak başlangıç yaklaşımımız olacaktır. Buna göre ağızdan çıkan ses  $\{s(t)\}$  , uyarım kaynağı  $\{g(t)\}$  ile ses bölgesi transfer fonksiyonunun  $\{h(t)\}$  bir konvolüsyonu olarak düşünülebilir.



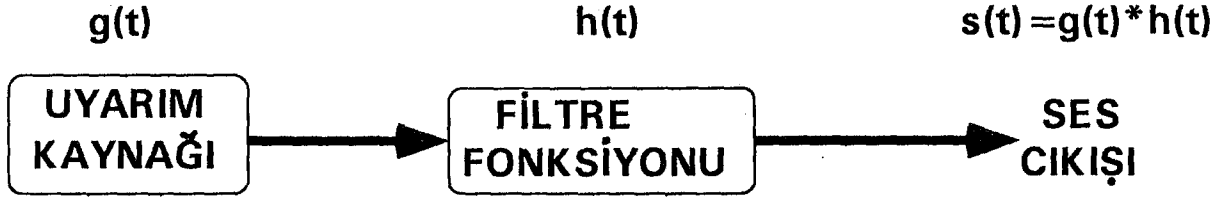
**ŞEKİL 1.1 : İnsan ses bölgesinin x ışınları ile çekilmiş görüntüsü.**

**TABLO 1.1 : Sesliler için üç temel formant frekanst**

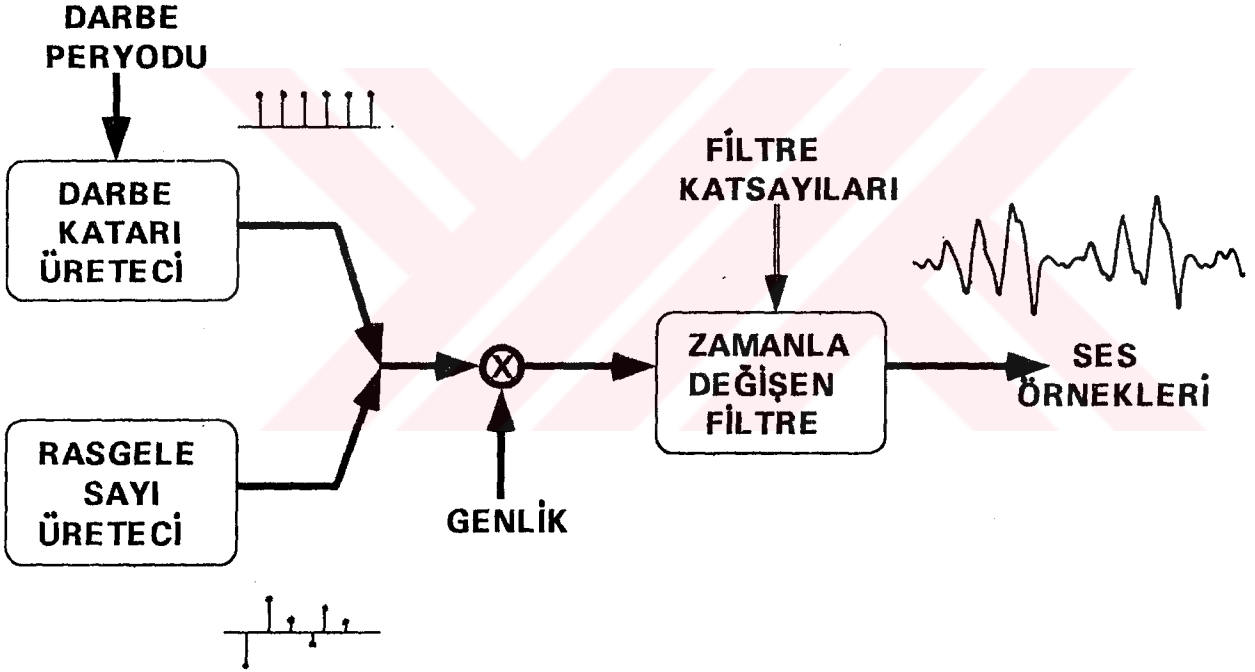
	$F_1$	$F_2$	$F_3$	$F_4$	$F_5$
/a/	813	1313	2688	3438	4438
/i/	375	2188	2938	3438	4438
/u/	375	1063	2188	3438	4438
/e/	438	1813	2688	3438	4438
/o/	438	1063	2688	3438	4438



**ŞEKİL 1.2 : Seslilerin çıkışında ağız aldığı şekil.**



ŞEKİL 2.1 : Ses bölgesi davranışının basit blok gösterimi



ŞEKİL 2.2 : İnsan ses üretim sisteminin temel yaklaşım modeli

O halde kullanılacak modelde, sesleri üretmek için o seslinin perde peryodunca uyarılan periyodik bir darbe kaynağı ve sessizleri üretmek için de düz bir spektral zarfa sahip, rasgele sayı üreten bir beyaz gürültü kaynağı kullanılır. Frikatif sesleri çıkartmada bu iki kaynak beraberce kullanılır. Ayrıca, uyarım kaynağı işaretine insan ses üretme sisteminin transfer fonksiyonu özelliklerini verebilmek için bir spektral şekilleme filtresi kullanılmalıdır. Çıkış işaretinin zarfı bu filtrenin spektrumunun şeklini alacaktır.

### 3.2) AYRIK FOURIER ANALİZİ :

Eğer işaret sayısallaştırılırsa, Ayrık Fourier Analizi denilen bir teknikle frekans analizine tabi tutulur. Ses işareti tam anlamıyla periyodik değildir. Ancak bir periyottan diğerine çok fazla değişikliğe de uğramaz. İşaret bir dikdörtgen pencereden geçirilerek ardışıl  $N$  değeri alınır. Pencerenin dışındaki tüm değerler sıfırdır. Bu pencerelemede pencerelemenin kenarlarında spektrumda süreksizlikler oluşur. Bu nedenle dikdörtgen pencerenin yerine artan kosinüs ya da Hamming penceresi kullanılır. Analizde ihtiyaç duyulan her bir frekanstaki enerjidir. Bu, güç spektrumunca verilir.

İnsan kulağı gelen işaretin fazına karşı duyarsızdır. Bu yüzden faz spektrumuna ihtiyaç duyulmaz.

$N$  noktalı bir Ayrık Fourier Analizi için yaklaşık  $N^2$  işleme ihtiyaç duyulur. Bu yüzden işlem açısından daha etkili bir yöntem olan Hızlı Fourier Analizi yöntemi geliştirilmiştir. Bu yöntemde sadece  $N \log N$  işleme ihtiyaç duyulur.

### 3.3) FİLTRE DİZİSİ :

Konuşma bir dizi band geçiren filtreden geçirilir ve her bir filtre çıkışındaki enerji miktarı ölçülür. Çıkışlardaki, zamanın bir fonksiyonu olan enerji sayısallaştırılarak bilgisayarda depolanır. Temel frekans öngörümü yapılarak gelen ses işaretinin sesli ya da sessiz olduğu saptanır. Yeterli bir analiz için 10 ile 20 arasında band geçiren filtreye ihtiyaç duyulur.

### 3.4) TEMEL FREKANSIN (PERDE PERİYODUNUN) ÇIKARIMI :

Seslilerde temel frekansın (perde periyodunun) bulunması, otokorelasyon fonksiyonu kullanılarak yapılabilir. Bu fonksiyon bir işareti kendisinin geciktirilmiş haliyle çarpmakla elde edilir. İşaretin durağan olmayan doğasından dolayı, toplama sınırı  $N$  noktaya sınırlanmalıdır. Eğer işaret pencerelenirse buna ihtiyaç duyulmayabilir. Periyodik bir fonksiyon için, otokorelasyon fonksiyonu, periyodikliğe ve onun çarpanlarına karşılık gelen bir dizi tepeler ortaya çıkarır. Bir konuşma işareti için tepeler temel frekans ve onun harmoniklerindedir.

Otokorelasyon fonksiyonu, bir sesli işaretin periyodunun tahmini için kullanılabilir gibi işaretin sesli mi yoksa sessiz mi olduğunun karar verilmesi için de kullanılabilir. Periyodik bir dalga şekli otokorelasyon fonksiyonunda tepeler verirken, rasgele bir dalga şekli ise düz bir otokorelasyon fonksiyonu sergiler.

Seslinin perde periyodunun çıkarımı için frekans boyutunda olduğu gibi zaman boyutunda da bir takım algoritmalar vardır. Sıfır geçişlerinin algılanması için yapılan algoritmalar bunların başında gelir. Gürültü gibi etkiler nedeniyle, sıfır geçişi yerine bu tür algoritmalarda belli bir eşik seviyesinin geçilmesinin kontrolü de bazen tercih edilir.

Sürekli bir konuşmada ses bölgesinin şeklinin değişmesi nedeniyle filtre katsayıları ( transfer fonksiyonu parametreleri ) kayar. Fakat dil, çene, ve dudaklar ses bölgesinde önemli kütleler teşkil ettiğinden, bu kütlelerin kasların zorlamasıyla çok hızlı bir değişim göstermeleri beklenemez. Hızlanmadaki bu fiziksel kısıtlamalar nedeniyle parametrelerde meydana gelecek olan kaymalarında oldukça yavaş olması beklenebilir.

Tersine bir düşünüşle bir ses işareti verildiğinde işaretin spektral zarfı, kısa süreli bir ters filtrelemeden geçirilerek elde edilebilir. Ters filtrenin parametreleri ise, işaretin düz bir spektral zarfa sahip olması sağlanacak bir şekilde ayarlanmalıdır. İşte bu düşünce analizimizin temelini oluşturacaktır.



*ŞEKİL 2.3 : Ses analizi için ters filtre kullanılması*

### 3. SES ANALİZİNDE KULLANILAN YÖNTEMLER

#### 3.1) KISA SÜRELİ FREKANS ANALİZİ :

Konuşma işaretinin doğasındaki değişimler nedeniyle, zaman boyutunda çalışmanın çok fazla yardımı olamaz. Frekans boyutunda ise zaman değişkeninden bağımsız çalışırız. Bu yöntemde bir dalganın frekans içeriğinin analizi Fourier analiziyle yapılır. Bu teorem der ki; herhangi bir periyodik işaret , sınırlı sayıdaki harmoniğinin seri açılımlarının birbiriyle toplanmasıyla elde edilebilir. Burada, işaretin önceki pencerelenmiş (belli bir aralık içerisinde tanımlı) değerlerinin toplamının yer aldığı spektrum üzerinde çalışılır. Eğer pencere transfer fonksiyonu bir alçak geçiren filtrenin cevabıysa, karşımıza Fourier dönüşümü yapılabilecek bir işaret elde edilir.

Bu yöntemle işaret analizi ses spektrogramı ya da sonograflarda kullanılır.

### 3.5) CEPSTRAL İŞLEME :

Bu teknik sesi, uyarım işareti ile filtre kısmına ayırmak için kullanılır. Bu yöntem hem uyarım frekansının ve hem de formant frekansının öngörülmesini daha basitleştirir.

Ses işaretinin, uyarım kaynağı ile ses bölgesi transfer fonksiyonunun konvolüsyonu olarak düşünülebileceğini belirtmiştik. Önce konuşma işaretinin ayrık fourier analizi hesaplanır. Frekansın hesaplanacak logaritmik spektrumuna cepstrum denilir. Cepstrum, temel frekansa karşılık gelen büyük bir tepe içerir.

### 3.6) FORMANT İZLEME ALGORİTMALARI :

Bu algoritmalar sayısallaştırılan işaretin bilgisayara kaydedilmesinden sonra uygulanır. Ancak algoritmaların çalışmasında karşılaştığı dört temel zorluk vardır :

*i)* İki formant yan yana geldiğinde spektrumda tek bir tepe oluşturacak bir biçimde birleşirler. En düşük frekanslardan yukarıya doğru tepele sayan ve bunları formantlara atayan bir algoritma bu tek tepelyi tek bir formant olarak algılayabilir. Böylece formantlara yanlış ad verilir.

*ii)* Bazı sessizlerde, özellikle burunsal olanlarda, spektrumda formant rezonansları (kutuplar) kadar rezonans dışılıklar (sıfırlar) meydana gelir. Bunlar bazen frekans olarak formantlarla çakışabilirler ve bu noktalardaki enerjiyi azaltırlar. Bu da tepenin maskelenmesine neden olur.

*iii)* Birçok seslinin, özellikle de açık seslilerin, spektrumunda ses kaynağının ses bölgesi filtrelemesinden daha etkili olduğu alçak frekans bölgesinde zaman zaman bir tepe görülür.

*iv)* Formantların yoğunluğu arttıkça, özellikle sesizler boyunca, bazı tepeler diğerlerine göre daha önemsizleşir. Bu nedenle bir tepe toplama algoritması başarısız olabilir.

#### 4. DOĞRUSAL ÖNGÖRÜ MODELLEMESİ VE ANALİZİ

Doğrusal öngörü modellemesi ve buna dayalı analiz, ses analizinde çalışanlarca son yıllarda en çok ilgi gösterilen konulardan birisidir. Doğrusal öngörüye dayalı analize Atal (1970) ve Itakura öncülük etmiş, daha sonra Markel (1971) ve Makhoul tarafından geliştirilmiştir. Her geçen gün daha da geliştirilmektedir. Doğrusal öngörü modellemesinin temeli akustik tüp modeline dayanır. Bu tüpün girişi darbeler ya da düşük seviyeli gürültüdür ve tüp matematiksel olarak kolayca işlenebilir olma özelliğine sahiptir, yani, tüpün önemli parametreleri çıkışlarından bulunabilir. Görüldüğü gibi bu model bizim şu ana kadar açıklamaya çalıştığımız insan ses üretim modelinin aynısıdır.

Doğrusal öngörüye dayalı analize şöyle bir başlangıç yapmak yerinde olur :

Bir  $s(n)$  işareti bir dizi bilinmeyen  $u(n)$  girişi ile sistemin bir dizi çıkışından ibaret olarak düşünülebilir.

$$(b_0 = 1) \text{ için } s(n) = -\sum_{k=1}^p a_k s(n-k) + G \sum_{l=0}^q b_l u(n-l)$$

Burada  $G$  kazancı temsil eder. Bu eşitlik der ki,  $s(n)$  çıkışı geçmiş çıkışlar ile o anki ve daha önceki girişlerin doğrusal bir fonksiyonudur. Bunu  $z$  dönüşümüyle frekans boyutunda gösterirsek ;

$$H(z) = \frac{S(z)}{U(z)} = G \frac{1 + \sum_{l=1}^q b_l z^{-l}}{1 - \sum_{k=1}^p a_k z^{-k}} \quad \text{elde ederiz.}$$

Bu  $H(z)$  'e genel kutup-sıfır model 'i denilir. Bu modelin ilgilenilen iki özel durumu vardır. :

a) Tüm sıfır modeli :  $a_k = 0$  ,  $1 \leq k \leq p$

b) Tüm kutup modeli :  $b_l = 0$  ,  $1 \leq l \leq q$ .

Tüm sıfır modeli istatistiksel sözlükte hareketli ortalama (Moving Avarage : MA) olarak, ve tüm kutup modeli ise otomatik gerileyen ortalama (autoregressive ; AR) olarak bilinir. Bizim ilgileneyeğimiz model tüm kutup modeli olacaktır. O halde ;

$$\left. \begin{array}{l} s(n): \text{Örneklenmiş. veri} \\ \hat{s}(n): \text{Öngörölmüş. veri} \\ e(n): \text{Öngörü. Hatası....} \\ a_i: \text{Öngörücü. Katsayıları} \end{array} \right\} \text{ iken ;}$$

Her  $n$  örnek indisi için,  $s(n)$  örneği kendinden önceki  $M$  adet örnekten doğrusal bir kombinasyonla *öngörülebilir*. Bu yüzden bu modellemeye *Doğrusal Öngörü Modellemesi* adı verilmiştir.  $s(n)$  örneklenmiş bilgi ile  $\hat{s}(n)$  öngörü bilgisi arasında bir  $e(n)$  hatası olacaktır.

$$s(n) = \hat{s}(n) + e(n) \quad (1)$$

$$\hat{s}(n) = \sum_{i=1}^M -a_i s(n-i) \quad (i = 1, 2, \dots, M) \quad (2)$$

İşaretin seçimi tamamıyla keyfidir. Farklı bir değişken  $b_i = -a_i$  olarak kolayca tanımlanabilir. (2) eşitliğinin frekans domenindeki gösterimi ise dönüşümü alınırsa ;

$$\hat{S}(Z) = - \underbrace{\sum_{i=1}^M a_i Z^i}_{F(Z)} \cdot S(Z) = F(Z) \cdot S(Z) \quad \text{olacaktır.} \quad (3)$$

Burada  $F(Z)$  doğrusal öngörücü filtreyi tanımlamaktadır. (1) eşitliğinden ;

$$E(Z) = S(Z) - \hat{S}(Z) = S(Z) - F(Z) \cdot S(Z) = S(Z) \cdot \underbrace{[1 - F(z)]}_{A(Z)}$$

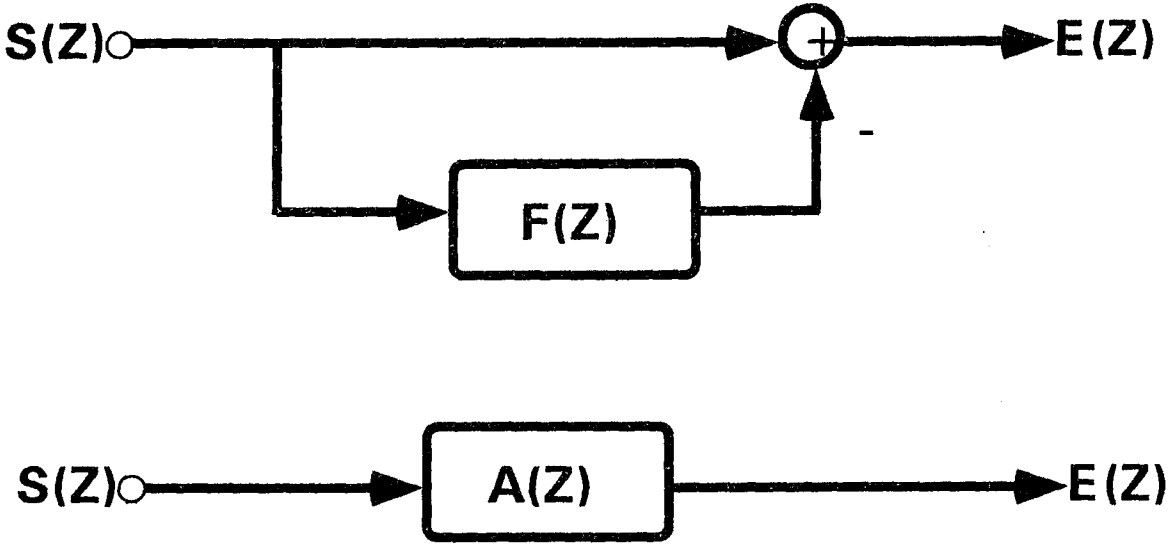
$$E(Z) = S(Z) \cdot A(Z) \quad (4)$$

O halde

$$A(Z) = 1 - F(Z) \quad \text{ve}$$

$$A(Z) = 1 + \sum_{i=1}^M a_i Z^{-i} \quad (5)$$

$A(Z)$  ters filtre fonksiyonudur.



**ŞEKİL 4.1 : Doğrusal Öngörü Modeli'nin Ters Filtre Yaklaşımı**

$A(Z)$  'in parametreleri, doğrudan doğruya konuşmadan ve (1) eşitliğine *En Küçük Kareler Optimizasyon* kriterinin uygulanmasıyla elde edilebilir. Optimizasyon kriteri, hata örneklerinin belirli sayısının karelerinin toplamının katsayılarla bağlı olarak en aza indirgenmesidir.  $e(n)$  hatayı tanımladığından,  $a_i$  katsayılarını  $e(n)$  'i en aza indirgeyecek bir biçimde seçmek tatmin edicidir.

Bu optimizasyon kriterinin seçiminin başlıca sebepleri, sonuç eşitliklerinin doğrusal, kolay işlenir olması ve bu kriterin ses analizinde mükemmel sonuç vermesidir.

Analiz iki çizgide yürüyecektir. Önce  $s(n)$  işaretinin bilinen (deterministik) bir işaret olduğunu farzedeceğiz, ve sonra  $s(n)$  'i raslantısal bir işlemden bir örnek farzederek analog türetimler vereceğiz.

#### 4.1) BİLİNEN İŞARET :

Toplam karesel hata ,  $E$ , şöyle tanımlanır :

$$E = \sum_{n=n_0}^{n_1} e^2(n) \quad \text{ve} \quad (1) \text{ ve } (2) \text{ eşitliklerinden ;}$$

$$e(n) = s(n) - \hat{s}(n) = s(n) - \left[ - \sum_{i=1}^M a_i s(n-i) \right] = \sum_{i=0}^M a_i s(n-i) \quad \text{olduğundan ,}$$

$$E = \sum_{n=n_0}^{n_1} \left( \sum_{i=0}^M a_i s(n-i) \right)^2 \quad \text{bulunur.} \quad (6)$$

istenilirse (6) eşitliğinden ;

$$E = \sum_{n=n_0}^{n_1} \left[ \sum_{i=0}^M a_i s(n-i) \right]^2 = \sum_{n=n_0}^{n_1} \sum_{i=0}^M \sum_{j=0}^M a_i s(n-i) a_j s(n-j) \quad \text{yazılabilir}$$

Burada  $n_0$  ve  $n_1$  hatanın minimizasyonu üzerinde geçerli indis limitleridir. Ve şu an için önemsizdir. Toplam karesel hata quadratik ( ikinci dereceden ) yapıdadır. Yani çoğunlukla katsayılar ikinin katları şeklindedir. Toplam karesel hatanın minimizasyonu katsayılara bağlı kısmi türevin sıfıra eşitlenip çözümüyle elde edilir.

$$\frac{\partial E}{\partial a_i} = 0 \quad , \quad 1 \leq i \leq p \quad (7)$$

Bu yüzden (6) ve (7) eşitliğinden ;

$$\sum_{k=1}^p a_k \sum_n s(n-k)s(n-i) = - \sum_n s(n)s(n-k) \quad , \quad 1 \leq i \leq p \quad (8)$$

(8) eşitliklerine en küçük kareler terminolojisinde *Normal Eşitlikleri* denir.  $s(n)$  şaretinin tanımı için,  $p$  bilinmeyenli  $p$  denklemlili bir set biçimindeki (8) eşitliklerinin (6) eşitliğindeki  $E$  'yi minimize edecek bir biçimde  $a_i$  ( $1 \leq i \leq p$ ) öngörücü katsayıları için çözülmesi gerekir.

$E_p$  'ye minimum toplam karesel hata denilirse, bu hata (6) 'nın kullanılması ve (8) 'de yerine kullanılmasıyla çıkarılabilir :

$$E_p = \sum_n s(n)^2 + \sum_{k=1}^p a_k \sum_n s(n)s(n-k) \quad (9)$$

Şimdi (6), (8) ve (9) eşitliklerindeki  $n$  toplam aralığı üzerinde duralım. Geçerli iki farklı aralık kabulü için iki ayrı öngörü parametresi çözümleme yöntemi vardır :

- Otokorelasyon Yöntemi ( sonsuz toplam aralığı  $-\infty < n < \infty$  için ),
- Kovaryans Yöntemi. ( sonlu toplam aralığı için  $0 < n < N - 1$  için ),

#### 4.1.a) OTOKORELASYON YÖNTEMİYLE ÇÖZÜM :

Bu yöntemde (6) eşitliğindeki hatanın  $-\infty < n < \infty$  sınırsız aralığında minimizasyonundan elde edileceği düşünülür. Bu durumda (8) ve (9) eşitlikleri şu hale indirgenebilir :

$$\sum_{k=1}^p a_k R(i-k) = -R(i) \quad , \quad (1 \leq i \leq p) \quad (10)$$

$$E_p = R(0) + \sum_{k=1}^p a_k R(k) \quad (11)$$

Burada

$$R(i) = \sum_{n=-\infty}^{\infty} s(n)s(n+i) \quad (12)$$

Bu  $s(n)$  işaretinin *otokorelasyon fonksiyonu*'dur. Buradaki  $R(i)$  'nin çift fonksiyon olduğuna dikkat edilmelidir. Yani ;

$$R(i) = R(-i) \quad (13)$$

$R(i-k)$  katsayıları *otokorelasyon matrisi* biçiminde olduğundan , bu yöntemde *otokorelasyon yöntemi* denilir. Otokorelasyon matrisi simetrik bir *Toeplitz Matrisi* 'dir. Toeplitz matrisi her bir diagonaldaki tüm elemanları eşit olan bir matristir.

Pratikte  $s(n)$  işareti sadece sınırlı bir aralıkta bilinir, ya da sadece sınırlı bir aralıktaki işaretle ilgileniriz. En yaygın yöntemlerden biri  $s(n)$  işaretini bir  $w(n)$  pencere fonksiyonu ile çarpmaktır. Böylece belli bir aralığın ,  $0 \leq n \leq N-1$  , dışında sıfır olan bir başka  $s'(n)$  işareti elde edilir :

$$s'(n) = \begin{cases} s(n)w(n), & \dots\dots 0 \leq n \leq N-1 \\ 0, & \dots\dots\dots i \geq 0 \end{cases} \quad (14)$$

Otokorelasyon fonksiyonu bu durumda şöyle verilebilir :

$$R(i) = \sum_{n=0}^{N-1-i} s'(n)s'(n+i) \quad , \quad i \geq 0 \quad (15)$$

Pencere fonksiyonunun biçimi önemsizdir.

#### 4.1.b) KOVERYANS YÖNTEMİYLE ÇÖZÜM :

Bu yöntemde E hatasının, sonlu bir aralıkta  $0 < n < N - 1$  minimize edilebileceği düşünülür. Sonuçta (8) ve (9) eşitlikleri şu halde getirilir :

$$\sum_{k=1}^p a_k \varphi_{ki} = -\varphi_{0i} \quad , \quad 1 \leq i \leq p \quad (16)$$

$$E_p = \varphi_{00} + \sum_{k=1}^p a_k \varphi_{0k} \quad (17)$$

burada

$$\varphi_{ik} = \sum_{n=0}^{N-1} s(n-i)s(n-k) \quad (18)$$

Bu  $s(n)$  işaretinin verilen aralıktaki kovaryansıdır. (16) 'daki  $\varphi_{ki}$  katsayıları bir kovaryans matrisi biçimindedir., ve bu yüzden bu yönteme kovaryans yöntemi denilir. (18) eşitliğinden kolayca görülebilir ki  $\varphi_{ki}$  kovaryans matrisi simetriktir , yani  $\varphi_{ki} = \varphi_{ik}$  . Bununla beraber otokorelasyon matrisinden farklı olarak her bir diagonaldeki elemanlar birbirinden farklıdır.

#### 4.2) RASLANTISAL İŞARET :

Eğer  $s(n)$  işareti raslantısal bir işlemin bir örneği olarak farzedilirse, (6) eşitliğindeki  $e(n)$  hatası da raslantısal işlemin bir örneğidir. En küçük kareler yönteminde hatanın karesinin beklendik değerini minimize ederiz. Böylece ;

$$E = \varepsilon(e^2(n)) = \varepsilon \left( s(n) + \sum_{k=1}^p a_k s(n-k) \right)^2 \quad (19)$$

(7) eşitliğini (19) eşitliğine uygulayarak, normal eşitliklerini elde ederiz :

$$\sum_{k=1}^p a_k \varepsilon(s(n-k)s(n-i)) = -\varepsilon(s(n)s(n-k)) \quad , \quad 1 \leq i \leq p \quad (20)$$

Bu durumda minimum ortalama hata şöyle verilir ;

$$E_p = \varepsilon(s^2(n)) + \sum_{k=1}^p a_k \varepsilon(s(n)s(n-k)) \quad (21)$$

$s(n)$  işaretinin durağan olması ya da olmamasına göre (20) ve (21) eşitliklerinin beklendiği alınır.

#### 4.2.a) DURAĞAN DURUM :

$s(n)$  durağan işlemi için ;

$$\varepsilon(s(n-k)s(n-i)) = R(i-k) \quad (22)$$

burada  $R(i)$  işlemin otokorelasyonudur. (21) ve (22) eşitlikleri, sırasıyla (10) ve (11) eşitliklerine benzer eşitliklere indirgenebilir. Tek fark otokorelasyonun bilinen işaret yerine durağan raslantısal bir işaret olmasıdır. Durağan bir işlem için otokorelasyon bir zaman ortalaması olarak hesaplanabilir.

#### 4.2.b) DURAĞAN OLMAYAN DURUM :

Durağan olmayan bir işlem için ;

$$\varepsilon(s(n-k)s(n-i)) = R(n-k, n-i) \quad (23)$$

Burada  $R(t, t')$ ,  $t$  ve  $t'$  süreleri arasındaki durağan olmayan otokorelasyondur.  $R(n-k, n-i)$ ,  $n$  zaman indisinin bir fonksiyonudur. Biz  $a_k$  parametrelerinin öngörülmesinde  $n = 0$  durumuyla ilgileneceğiz. Bu durumda (20) ve (21) eşitlikleri şöyle indirgenebilir ;

$$\sum_{k=1}^p a_k R(-k, -i) = R(0, -i) \quad (24)$$

$$E'_p = R(0, 0) + \sum_{k=1}^p a_k R(0, k) \quad (25)$$

$s(n)$  işaretinden durağan olmayan otokorelasyon katsayılarının öngörülmesinde, durağan olmayan işlemin ergotik olmadığına ve genel ortalama yerine bir zaman ortalaması kullanılmayacağına dikkat edilmelidir. Bununla birlikte yöresel olarak durağan işlem denilen belli bir grup durağan olmayan işlem için, otokorelasyon fonksiyonunu zamanda bir noktaya bağlı olarak kısa süreli bir ortalama olarak öngörebiliriz. Konuşma durağan olmayan işleminin yöresel olarak durağan gibi düşünülmesi bunun bir örneğidir.

### 4.3) ÖNGÖRÜCÜ PARAMETRELERİNİN HESAPLANMASI

#### 4.3.1) DOĞRUDAN HESAPLAMA YÖNTEMİ :

Her iki yöntemde de öngörücü katasayıları  $a_k$  ,  $1 \leq k \leq p$  , p bilinmeyenli p eşitliğin çözümünden elde edilir. Bu eşitlikler otokorelasyon (durağan) yöntemi için (10) eşitliği ve kovaryans (durağan olmayan) yöntemi için (16) eşitliğidir. Gerekli eşitlik çözümlenmesi için bir kaç standart yöntem vardır (Gauss indirgemesi veya eliminasyonu, ve Crout indirgemesi yöntemi gibi). Bu genel yöntemler  $p^3/3 + O(p^2)$  işleme (çarpma ya da bölme) ve  $p^2$  depolama alanına ihtiyaç duyar. Bununla beraber (10) ve (16) eşitliklerine dikkat edilirse matris katsayılarının kovaryans matrisi olduğu görülür. Kovaryans matrisleri simetriktir ve genelde pozitif yarı-tanımlıdır. Bu yüzden (10) ve (16) eşitlikleri karekök ya da Cholesky ayrıştırma yöntemiyle etkin bir biçimde çözülebilir. Bu yöntem genel yöntemin yarısı kadar işleme  $p^3/6 + O(p^2)$ , ve yarısı kadar  $p^2/2$ , depolama alanına ihtiyaç duyar.

Depolama alanında ve işlem süresinde daha fazla indirgeme sağlanması (10) otokorelasyon normal eşitliklerinin çözümünde bunların özel durumlarından faydalanmakla olabilir. (10) eşitliği matris biçiminde şöyle genişletilebilir :

$$\begin{bmatrix} R_0 & R_1 & R_2 & \dots & R_{p-1} \\ R_1 & R_0 & R_1 & \dots & R_{p-2} \\ R_2 & R_1 & R_0 & \dots & R_{p-3} \\ \cdot & \cdot & \cdot & \dots & \cdot \\ R_{p-1} & R_{p-2} & R_{p-3} & \dots & R_0 \end{bmatrix} \begin{bmatrix} a_1 \\ a_2 \\ a_3 \\ \cdot \\ a_p \end{bmatrix} = - \begin{bmatrix} R_1 \\ R_2 \\ R_3 \\ \cdot \\ R_p \end{bmatrix} \quad (26)$$

$p \times p$  otokorelasyon matrisinin simetrik olduğu ve her hangi bir diagonaldeki elemanların da benzer olduğu buradan görülmektedir. Bu çeşit bir eşitliği çözmek için *Levinson* üstün bir tekrarlamalı (rekürsif) işlem çıkarmıştır. Bu işlem daha sonra *Robinson* tarafından formül haline getirilmiştir. Levinson 'un yöntemi (26) matrisinin sağ tarafındaki sütun vektörünü genel bir sütun vektörü gibi farzeder. Bu kolon vektörünün otokorelasyon matrisinde bulunan elemanları içerdiği gerçeğinin kullanılmasıyla, *Durbin* , Levinson yönteminden iki kat daha hızlı bir yöntem yayınlamıştır. Yöntem sadece  $2p$  depolama alanına ve  $p^2 + O(p)$  işleme ihtiyaç duyar.

Durbin 'in tekrarlamalı işlemini şöyle açıklanabilir :

$$E_0 = R(0) \quad (27a)$$

$$k_i = - \left[ R(i) + \sum_{j=1}^{i-1} a_j^{(i-1)} R(i-j) \right] / E_{i-1} \quad (27b)$$

$$a_i^{(i)} = k_i$$

$$a_j^{(i)} = a_j^{(i-1)} + k_i a_{i-j}^{(i-1)} \quad , \quad 1 \leq j \leq i-1 \quad (27c)$$

$$E_i = (1 - k_i^2) E_{i-1} \quad (27d)$$

(27b) ve (27d) eşitlikleri  $i = 1, 2, \dots, p$  için tekrarlamalı olarak çözülür. Sonuç çözümü ise

$$a_j = a_j^{(p)} \quad , \quad 1 \leq j \leq p \quad (27e)$$

ile verilir.  $p$ . dereceden bir öngörücü için çözümü elde ederken,  $p$  'den daha küçük olan tüm dereceler için çözümler hesaplanır. Belirtilmiştir ki bu çözüm sayısal olarak göreceli olarak kararsızdır. Bununla beraber araştırmacıların çoğu bunu pratikte bir problem olarak görmemiştir.

Eğer tüm otokorelasyon katsayıları bir sabitle ölçeklenirse, (26) matrisinin çözümü bundan etkilenmez. Özellikle, eğer tüm  $R(i)$  'ler  $R(0)$  ile bölünerek normalize edilirse, *normalize otokorelasyon katsayıları* , $r(i)$ , olarak bilinenler elde edilir ;

$$r(i) = \frac{R(i)}{R(0)} \quad (28)$$

Normalize otokorelasyon katsayılarının özelliği  $|r(i)| \leq 1$  olmasıdır.

(26) matrisinin çözümününün bir yan ürünü her adımda minimum toplam hatanın , $E_i$  hesaplanmasıdır. Kolayca gösterilebilir ki öngörücü katsayılarının derecesi arttıkça minimum hata da artar (ya da aynı kalır).  $E_i$  karesel bir hata olduğundan, hiçbir zaman negatif olmaz. Bu yüzden,

$$0 \leq E_i \leq E_{i-1} \quad , \quad E_0 = R(0) \quad (29)$$

İstenirse kazanç da  $E_p$  cinsinden yazılabilir :

$$G^2 = E_p = R(0) + \sum_{k=1}^p a_k R(k) \quad (30)$$

Eğer otokorelasyon katsayıları (28) eşitliğindeki gibi normalize edilmişse, bu durumda en küçük (minimum) hata da  $E_i$ ,  $R(0)$  ile bölünür. Sonuç niceliğine *normalize hata*  $V_i$ , denilir :

$$V_i = \frac{E_i}{R(0)} = 1 + \sum_{k=1}^i a_k r(k) \quad (31)$$

(31) eşitliğinden açıktır ki ;

$$0 \leq V_i \leq 1, \quad i \geq 0 \quad (32)$$

(27d) ve (31) eşitliklerinden de, sonuç normalize hatası,  $V_p$ ,

$$V_p = \prod_{i=1}^p (1 - k_i^2) \quad (33)$$

$k_i$  ara nicelikleri,  $1 \leq i \leq p$ , *yansıma katsayıları* olarak bilinir. İstatiksel literatürde bunlar *kısmi korelasyon katsayıları* olarak bilinirler.  $k_i$ ;  $s(n+1), \dots, s(n+i-1)$  sabit tutularak ve  $s(n)$  ile  $s(n+i)$  arasındaki (negatif) kısmi korelasyon olarak yorumlanabilir. Buradan  $k_i$  şöyle verilebilir ;

$$k_i = \frac{Z_{i+1} - Z_i}{Z_{i+1} + Z_i} \quad (34)$$

#### 4.3.2) TEKRARLI HESAPLAMA YÖNTEMİ :

Eşzamanlı doğrusal eşitliklerin çözümünde doğrusal yöntemlerden başka, bir grup tekrarlı çözüm yöntemi de vardır. Bu yöntemlerde çözüm için bir başlangıç tahmini ile işe başlanır. Çözüm, sonra, bazı hata kriterlerinin gradiyentine dayanan bir düzeltme teriminin eklenmesiyle güncellenir. Genelde tekrarlı yöntemler istenen derecedeki yaklaşımı başarmak için, doğrudan hesaplama yöntemlerinden daha fazla sayıda hesaplama ihtiyacı duyar.

#### 4.4) KUTUP SAYISININ EN UYGUN SEÇİMİ :

Tüm kutuplu modellerde verilmesi gereken en önemli kararlardan birisi de uygun kutup sayısının belirlenmesidir. Kutup sayısı  $p$ , arttıkça modelin uygunluğu da gelişir. Sorun nerede durulacağıdır. Açıktır ki ele alınan konu için uygun gelen en az değerdeki  $p$  alınmalıdır. Çünkü,  $p$  azaldıkça hem yapılacak işlem sayısı azalacak ve hem de hatalı durum olasılığı ( $V_p$  azalırken  $p$  ile birlikte arttığından) en aza indirgenecektir.

Eğer işaretin spektrumu,  $p_0$  kutuplu tüm-kutuplu bir spektrum ise, bu durumda biliyoruz ki  $V_p = V_{p_0}$ ,  $p \geq p_0$ , ve  $k_p = 0$ ,  $p > p_0$  'dir, yani,  $p > p_0$  için hata eğrisi düzgün kalır. Bu yüzden, eğer işaret spektrumunun tüm-kutuplu bir spektrum olduğunu tahmin ediyorsak, en uygun  $p$  'yi bulmak için ne zaman hata eğrisinin düzgün hale geldiğini kontrol edecek bir test yapılmalıdır. Son zamanlarda *Akaike* tarafından bir test işlemi yayınlanmıştır. Akaike, ortalama logaritmik olasılık öngörümüne karşılık gelen bir bilgi kriterinin kullanılmasını önermiştir. Bu şöyle verilir:

$$I(p) = -2 \log(\text{maksimum_olasılık}) + 2p \quad (35)$$

$I(p)$  'yi en az yapacak  $p$  değeri en uygun değer olarak ele alınır. Bizim tüm kutuplu modelimizde, eğer işaretin bir Gauss olasılık dağılımı olduğunu farzederseniz (35) eşitliği (toplanacak sabitleri ihmal ederek ve  $N$  ile bölerek) şu hale indirgenebilir :

$$I(P) = \log V_p + \frac{2p}{N_e} \quad (36)$$

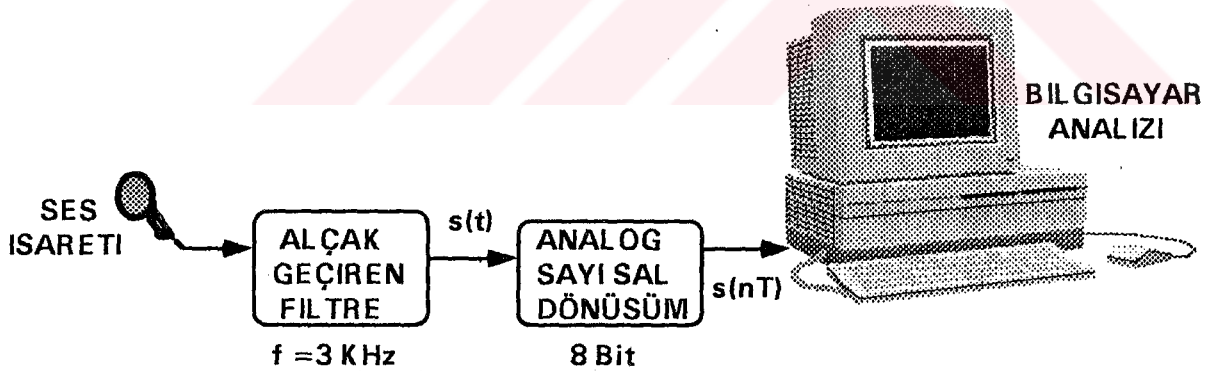
Burada  $N_e$  işarettaki veri noktalarının etkin sayısıdır. Ses işareti, yaklaşık Laplace dağılımına sahip olduğundan, olasılık fonksiyonu kestirilmeden önce işaret Hamming penceresi ile çarpılır ve daha sonra gerekli ayarlamalar yapılırsa  $N_e = 0.4N$  için daha doğru olan aşağıdaki sonuç elde edilir :

$$I(P) = 10 \log(V_p / R(0)) + (8.686 p / 0.4N) \quad (37)$$

Model kutup derecesi seçimi için, Akaike 'nin yöntemine ek olarak en küçük tanımlama uzunluğu yöntemi geliştirilmiş ve daha iyi bir istatistik olduğu görülmüştür. (Wax , 1985) Bu tez için bunların göz önüne alınmasıyla en uygun  $p$  kutup değeri 12 olarak bulunmuş ve uygulanmıştır.

## 5) PROJE ADIMLARININ AÇIKLANMASI

Öncelikle ses işaretinin bir dinamik mikrofon kullanılarak analog işarete dönüştürülmesi gerekmektedir. Ancak elde edilen işaretin genlik düzeyi incelemeye müsait olmadığından hemen mikrofon çıkışındaki işaret milivoltlar mertebesinde voltlar mertebesine yükseltilmelidir. Bunun için basit bir iki katlı tranzistörlü kuvvetlendirici kullanılmıştır. Elde edilen ses analog işareti  $\pm 5$  V arasında salınan, 8KHz frekanslı bir işarettir. Ancak ses işaretinin enerjisinin büyük bir kısmı 5 KHz 'in altında toplanmıştır. Seslilerin analizi için de bu sını yeterlidir. Çünkü tüm sesliler bu aralıkta yer alır. Eğer fon gürültüsü analizi zorlaştırıcı boyutlardaysa kesim frekansı 80Hz olan bir yüksek geçiren filtre kullanılması tavsiye edilir. Bu işaret örneklenecek sayısallaştırılmadan önce Nyquist kriterinin sağlanabilmesi için bir alçak geçiren filtreden geçirilmiştir. Nyquist kriterine göre örnekleme frekansı örneklenecek işaretin en büyük frekansından iki kat daha büyük olmalıdır. Bu yüzden ses işaretleri için yeterli bir örnekleme olan 10 KHz örnekleme hızı için ses işaretinin 5 KHz 'den daha yüksek harmonik ve bileşenlerden temizlenmesi gerekir. 2. dereceden bir Butterworth alçak geçiren filtresi kullanıldığından, ve bu filtrenin çok keskin bir filtrelemesi olmadığından filtrenin kesim frekansı 3 KHz olarak seçilmiştir.

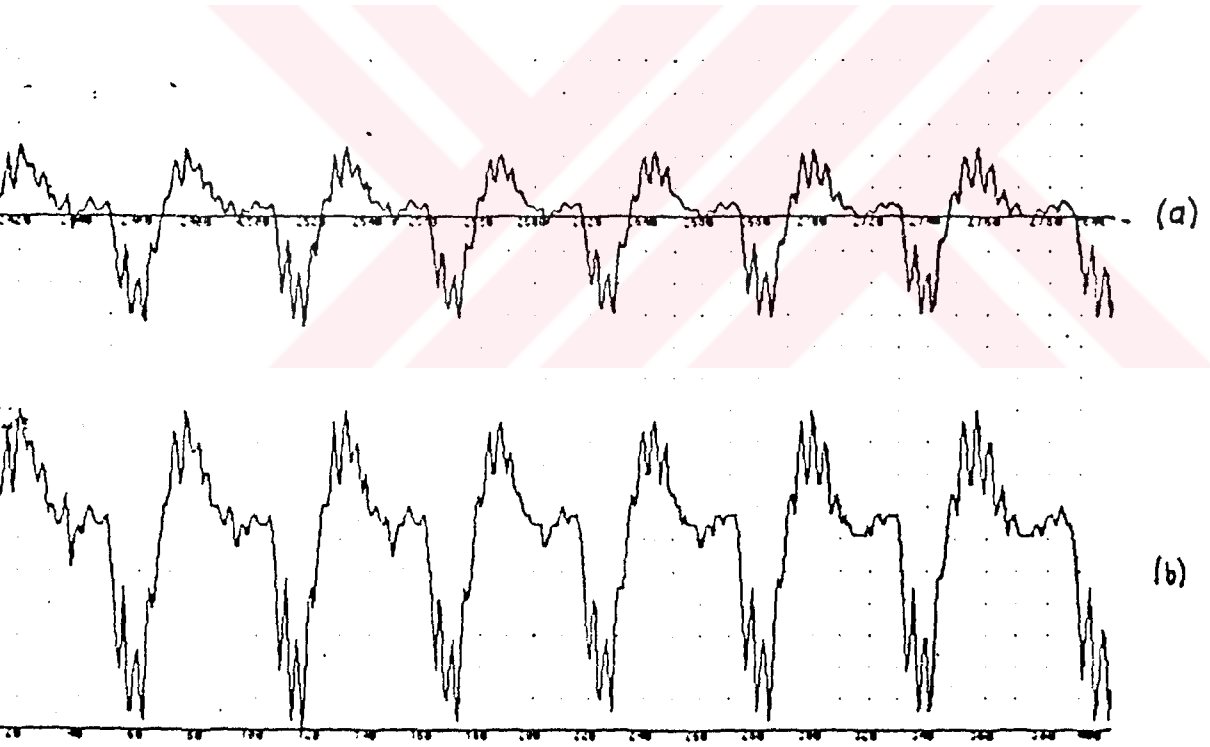
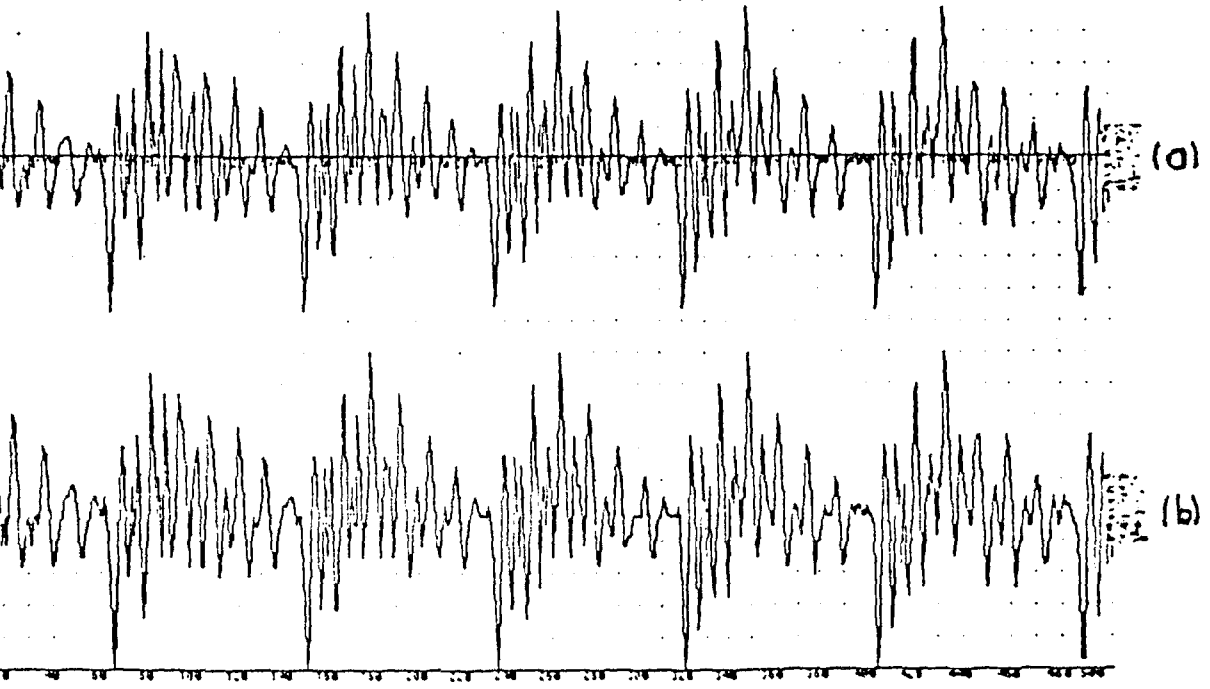


**ŞEKİL 5.1 : Ses İşaretinin Bilgisayardaki Analize Hazırlanması**

Alçak geçiren filtre çıkışında, filtre kazancını süzen bir AC İşaret Kuvvetlendirici kullanılarak, sonra kullanılmış olan İşlemsel Kuvvetlendiricilerin (OP-AMP) doymaya girmeleri önlenmiştir.

$\pm 5$  V arasında değişmekte olan analog işaretin Analog-Sayısal Dönüştürücü girişine uygun bir hale, 0 - 5 V' arasına, taşınması için bu işarete 2.5 V 'luk bir DC seviye eklenerek salınım aralığının daraltılması için, sayısal dönüştürücü öncesinde bir Toplayan Kuvvetlendirici kullanılmıştır.

Artık işaret 0 - 5 V aralığında salınan, ADC girişine uygun hale getirilmiştir.



**ŞEKİL 5. : a) Alçak geçiren filtre çıkışı**

**b) DC seviye Eklenerak 0 - 5 V arasına ötelenmiş işaret**



*ŞEKİL 5.3 : Adımların Şematik Gösterimi*

İnsanın duyma üst eşiği 120 dB 'dir. Konuşma işaretinin ise yaklaşık olarak 70 dB ile sınırlı olduğu kabul edilir. Bu işaretin kaç bit ile temsil edilebileceğini bulmak istersek ;

$$20 \log_{10} 2^n = 70 \text{ dB} \quad \text{ise} \quad n = 12 \text{ bit} \quad (38)$$

O halde 12 bitlik bir dönüştürücü kullanılması doğru olacaktır. Ancak piyasada 8 bitlik ADC 'nin yaygın olarak kullanılması nedeniyle bizim de devremizde 8 bitlik bir ADC

Kullanılacak dönüştürücünün dönüşüm hızı ise

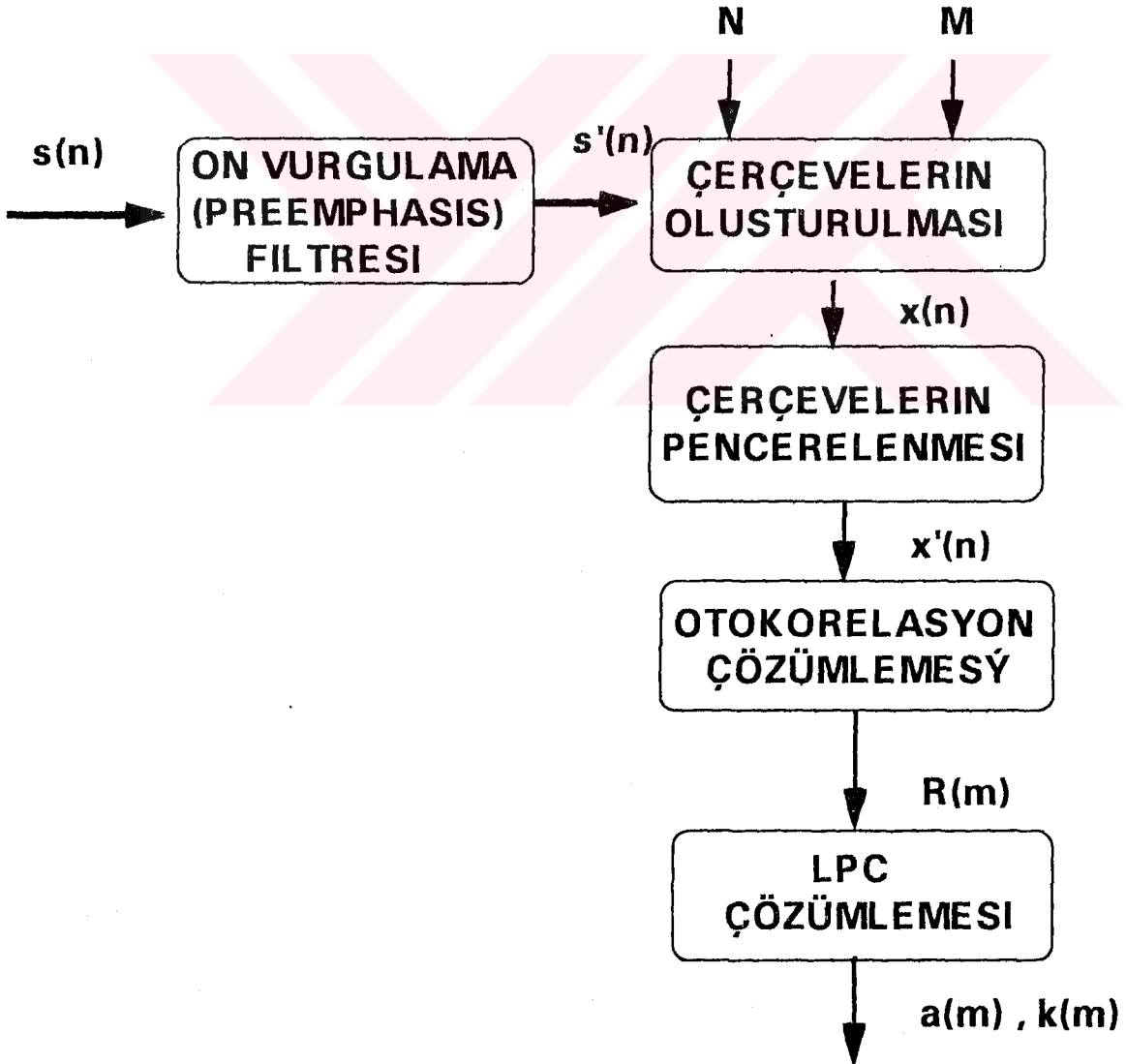
$$t = 1/f = 1/10000 \text{ Hz} = 100 \mu\text{sn} \text{ olmalıdır.} \quad (39)$$

Yani dönüştürme süresi 0.1 msn 'den daha küçük olan bir ADC seçilmelidir.

Devremizde Ardışıl Yaklaşım Dönüşüm yöntemini kullanan bir ADC800 kullanılmıştır.

### 5.1) VERİ İŞLEME

Veri işleme bilgi içeren işaretlerden gereken bilginin çıkarılmasıdır. Konuşma işareti üzerinde LPC parametreleri ile özellik çıkarma amacı ile gerçekleştirilen işlemler özet olarak Şekil 6.3 'de verilmiştir.



ŞEKİL 5.4 : LPC Parametreleri ile özellik çıkartma

Ses işareti, işaret gücü gürültü gücü oranını biraz daha arttırmak için önce bir ön vurgulama (preemphasis) filtresinden geçirilir. Bu filtreleme aynı zamanda, hesaplama yapılan ortamdaki hesaplamaya bağlı kararsızlıkların ortadan kaldırılması için de yararlıdır. Bu aşamada daha sonra sesli-sessiz ayrımı kısa aralıklarla hesaplanan enerjilere göre yapılır. Bu ayırım yapılırken küçük enerjili çerçeveler sessiz olarak, yüksek enerjiye sahip olanlar ise sesli olarak düşünülür. Analiz hedefimiz sesliler olduğundan sessiz çerçeveler konuşma işaretinden çıkarılmaktadır.

Ön vurgulama filtresinin transfer fonksiyonu ;

$$H(z) = 1 - az^{-1} \quad (40)$$

Burada a 'nın değeri çoğu veri işleme uygulamasında olduğu gibi a=0.9375 alınmıştır. Frekans boyutunda giriş-çıkış ilişkisi yazılacak olursa ;

$$s'(n) = s(n) - as(n-1) \quad (41)$$

elde edilir. Yani bir sonraki örnek kendinden bir önceki örnekten çıkarılacaktır.

Sayısal işaret özellik ölçümü amacıyla N adet örnek içeren alt bölümlere ayrılır. Tipik çerçeve boyutları 10 ms ile 40 ms arasındadır. 10 KHz 'lik örnekleme frekansı için N, 100 ile 400 arası seçilmelidir. Birbirini izleyen alt bölümler arasındaki örnek aralığı ise M ile gösterilmiştir. Açık ki  $M < N$  olduğunda komşu alt bölümlerde üst üste binme (overlapping) olacaktır. Böyle bir binme, özellik katsayısı vektörlerinde nispeten bir yumuşama sağlar.

Verinin özelliklerini yumuşatmak için, çerçevenin her iki tarafına uçlardan konuşma örneklerini sıfırlayan yumuşatıcı bir pencere , w(n), uygulanmıştır. Bu pencere bir *Hamming Penceresi* 'dir.

$$w(n) = 0.54 - 0.46 \cos\left(\frac{2\pi n}{N-1}\right) \quad , \quad 0 \leq n \leq N-1 \quad (42)$$

Çerçeveler pencerelenince elde edilen işaret şu şekli alacaktır :

$$x'_l(n) = x_l(n) \cdot w(n) \quad , \quad 0 \leq n \leq N-1 \quad \text{ve} \quad 0 \leq l \leq L-1 \quad (43)$$

Burada L indisi alt bölümün numarasını, n ise o bölüm içinde hangi örneğin işlendiğini göstermektedir.

Pencerelenmiş çerçeveler içerisindeki sayısal işaret yeterince durağan kabul edilerek ve doğrudan bir çözümleme yöntemi olan otokorelasyon çözümlemesine tabi tutulur. Otokorelasyon çözümlemesi şu sonucu verecektir :

$$R_l(m) = \sum_{n=0}^{N-l-m} x_l'(n)x_l'(n+m) \quad , \quad m = 0,1,\dots,p \quad (44)$$

Burada ki  $p$  kutup sayısını göstermektedir ve uygun kutup sayısının bulunmasının anlatıldığı bölümde hatırlacağı gibi, bu değerin  $p=12$  olarak seçilmesi uygun görülmüştü.

Son aşama ise LPC katsayılarının  $a_l(j)$  ,  $j = 1,2,\dots,p$  , veya , kısmi korelasyon katsayılarının (çansıma katsayılarının) ,  $k_l(j)$  , hesaplanmasıdır. Her bir çerçeve için bu katsayılar Durbin yöntemiyle bulunduktan sonra, özellik vektörü şu şekilde elde edilir :

$$P_a = \langle a_l(j) \rangle_l \quad \text{veya} \quad P_k = \langle k_l(j) \rangle_l \quad l = 0,1,\dots,L-1 \quad , \quad j = 1,2,\dots,p \quad (45)$$

Burada  $\langle . \rangle_l$  operatörü,  $l$ 'ye göre ortalama alma anlamındadır. Bu tez de  $P_a$  ve  $P_k$  özellik vektörlerinin her ikisi de denenmiş ve benzer sonuçlar elde edilmiştir. Bu nedenle  $P_k$  özellik vektörünün kullanılmasının özel bir nedeni yoktur.

### 5.3) ÖRÜNTÜ (PATTERN) TANIMA :

Ses işaretinin özelliklerinden oluşan örüntülerin tanınması işlemidir. Örüntüler arasındaki benzerliğin bir ölçüsü örüntüler arasındaki uzaklıktır. Bu uzaklık değişik biçimlerde tanımlanabilir. Örüntü tanımada yaygın olarak kullanılan uzaklık ölçüleri şunlardır :

- a) Euclide,
- b) Mahalonobis,
- c) Dinamik Zaman Saptırması (Dynamic Time Warping ) uzaklık ölçüsü.

### 5.2.a) EUCLIDE UZAKLIK ÖLÇÜSÜ :

$x$  ve  $y$  iki vektör olsun. Bu iki vektör arasındaki Euclide uzaklığı  $((x-y)^T(x-y))^{1/2}$  olarak bilinir. Bu uzaklığı başvuru ,  $R$ , ve test ,  $T$ , örüntü vektörlerine uyarlayacak olursak, iki örüntü arasındaki Euclide uzaklık ölçüsünü

$$((R-T)^T(R-T))^{1/2} \quad (46)$$

olarak elde ederiz. Bu uzaklık ölçüsünü kullanarak ses örüntüsünü tanımda iyi sonuçlar elde etmek olası değildir. Bunun başlıca nedenleri, bu uzaklık ölçüsünün istatistiksel veri içermemesi ve ses örüntüsünün aynı kişi için bile zamana göre değişim göstermesidir.

### 5.2.b) MAHALANOBİS UZAKLIK ÖLÇÜSÜ :

Euclide uzaklık ölçüsüne göre daha karmaşıktır ve sesin istatistiksel verilerini de içerir (Atal, 1971 ve 1976). Bu uzaklık ölçüsünü şöyle tanımlayabiliriz :

$x$ , giriş örüntüsünü temsil eden  $L$  boyutlu bir sütun vektör olsun. Burada  $x$ 'in  $k$ 'inci elemanı  $k$ 'inci çipumdür.  $i$ 'inci konuşmacının ölçümlerinin bileşik olasılık yoğunluk fonksiyonunun, ortalaması  $m_i$  ve kovaryans matrisi  $W_i$  olan çok boyutlu Gauss dağılımı olduğunu farzederek,  $x$ 'in  $L$  boyutlu Gauss yoğunluk fonksiyonu aşağıdaki gibi olur:

$$g(x) = (2\pi)^{-L/2} |W|^{-1/2} \exp\left[-(1/2)(x-m_i)^T W_i^{-1} (x-m_i)\right] \quad (47)$$

Burada sorun  $x$ 'in hangi konuşmacıya ait olduğunun bulunmasıdır. Buna göre, eğer  $p_i g_i(x) \geq p_j g_j(x)$  ,  $\forall i \neq j$  ise  $x$ ,  $i$ 'inci konuşmacı olarak atanacaktır. (47) eşitliğinin her iki tarafının doğal logaritmasını alıp,  $x$ 'e göre değişmeyen terimleri atarsak,

$$d_i = (x-m_i)^T W_i^{-1} (x-m_i) \quad (48)$$

elde ederiz. Burada

$$m_i = \frac{i}{N_i} \sum_{n=1}^{N_i} x_i(n) \quad (49)$$

$$W_i = \frac{1}{N_i} \sum_{n=1}^{N_i} x_i(n) x_i^T(n) - m_i m_i^T \quad (50)$$

Bu eşitlik Mahalanobis uzaklığı olarak bilinir.

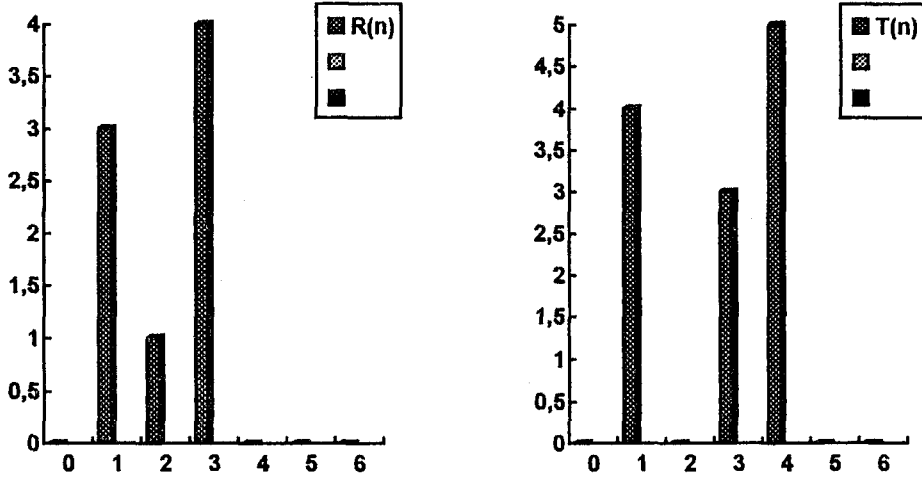
### 5.2.c) DİNAMİK ZAMAN SAPTIRMA :

Aynı konuşmacıya ait örüntülerin zamana ve genliğe göre sapma göstermesi konuşmacıların ya da konuşulanların tanınması işlemi güçleştirmektedir. Örüntülerin eşzamanlaması yolu ile bu sorunun üstesinden gelmek kısmen de olsa mümkündür. Eşzamanlama işlemi, belirli ses özelliklerine göre doğru uzaklık hesaplamasını sağlar.

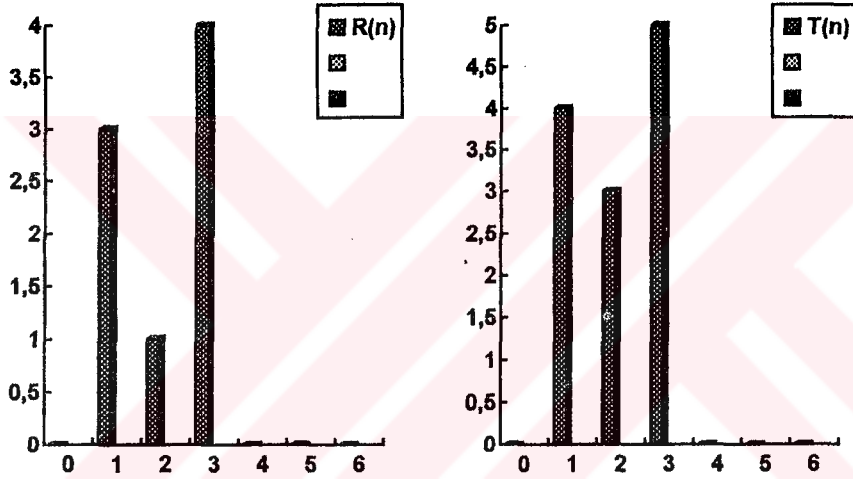
Bir örnek olarak, bir  $R=(0,3,1,4,0)$  başvuru örüntüsü ile bir  $T=(0,4,0,3,5,0)$  test örüntüsünün eşzamanlaması Şekil 6.5 'deki gibi olur. Şekil 6.5.a 'da görülen test örüntüsü başvuru örüntüsüne göre eşzamanlanmıştır ve eğer burada Euclide uzaklık ölçüsü kullanırsa yanlış bir sonuç elde edilir. Çünkü  $T$  örüntüsünün zaman ekseninde,  $R$  örüntüsünde mevcut bulunan özelliklere göre bir kayma söz konusudur.  $T$  'deki özellikler Şekil 6.5.b 'deki gibi  $R$  'nin benzer özellikleri ile zaman olarak aynı indise karşılık getirilip gerekli uzaklık hesaplaması yapılırsa daha doğru bir karşılaştırma ölçüsü elde edilmiş olur. Açıktır ki uzaklık ne kadar küçük çıkarsa benzerlik o kadar fazladır. Test örüntüsü eldeki bütün başvuru örüntüleri ile karşılaştırılarak, en küçük uzaklığın elde edildiği başvuru örüntüsünün kimliği, bu test örüntüsüne atanır. Bu koşullarda hesaplama zamanı, kısa eğitime ve kısa test konuşma zamanı söz konusu olduğunda, dinamik zaman saptırma uzaklık ölçüsü, Mahalanobis uzaklık ölçüsüne göre daha verimli bir alternatif oluşturur (Rosenberg, 1975).

### 5.3 ) DİNAMİK ZAMAN SAPTIRMASI İLE ÖRÜNTÜ TANIMA

Örüntüler elde edildikten sonraki aşama, örüntüler arası benzerliğin belirlenmesidir. Konuşma şekli zamanla oldukça fazla değiştiğinden, örüntülerin eşzamanlanması gerekmektedir. Şekil 6.6 'da,  $T(t)$  ile  $R(t)$  örüntüleri arasındaki eşzamanlama işlemi görülmektedir (Rabiner, 1981).

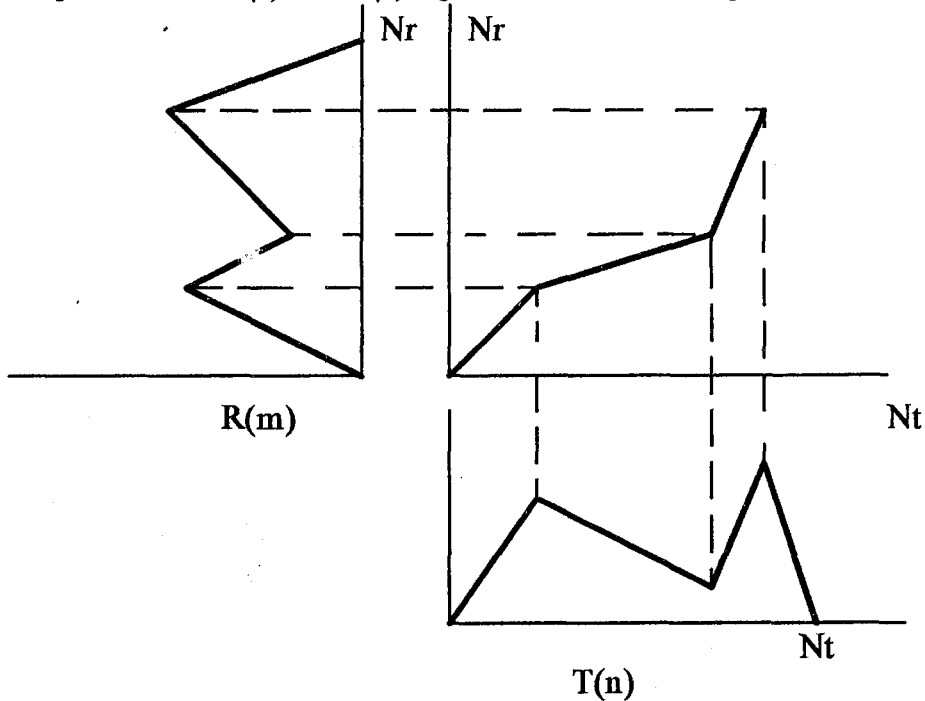


a) Eşzamanlama Öncesinde Durum



b) Eşzamanlama Sonrası Durum

ŞEKİL 5.5 :  $R(n)$  ile  $T(n)$  İşaretleri arasındaki Eşzamanlama



ŞEKİL 5.6 :  $R(t)$  ile  $T(t)$  'nin  $w(n)$  fonksiyonu kullanılarak eşzamanlanması

Burada amaç iki örüntü arasındaki uzaklığı,  $D(T,R)$ , bir  $w$  dönüşümü ile en aza indirmektedir. Öyle bir  $W(t)$  bulunmalıdır ki aşağıdaki ifade en küçük olsun :

$$D(T,R) = \int_{t_0}^t d(t,w(t))G(t,w(t),\frac{dw(t)}{dt})dt \quad (51)$$

Bu eşitliğin sürekli zamanda çözümü genelde yoktur. Bu yüzden bu problemin çözümü kesikli zamanda gerçekleştirilir.  $R$  ve  $T$  'nin aşağıdaki gibi verildiğini düşünelim :

$$T( T(1), T(2), T(3) ,..., T(Nt) ) \text{ ve } R( R(1), R(2), R(3) ,..., R(Nr) ) \quad (52)$$

En iyi eşzamanlama yolu, başvuru örüntüsü zaman koordinat eksenini,  $m$ , ile deney örüntüsü zaman koordinat sistemini,  $n$ , birbiri ile ilişkilendiren eğridir ve şu şekilde verilir :

$$m = w(n) \quad (53)$$

$w(n)$  'in sınır koşulları ise şöyle verilebilir :

$$w(1) = 1 \quad \text{ve} \quad w(Nt) = Nr \quad (54)$$

$w(n)$  'in belirlenmesi için bir kaç yol önerilmiştir. Bunlar :

1) Doğrusal Eşzamanlama ;

$$m = (n-1)(Nr-1) / (Nt-1) + 1 \quad (55)$$

2) Zaman - Olay Eşleme,  $R$  ve  $T$  'deki belirgin benzer olayların aynı zamanlara karşılık getirilmesi,

$$m_1 = w(n_1)$$

$$m_2 = w(n_2)$$

.

.

$$m_Q = w(n_Q) \quad (56)$$

3) Korelasyonların en büyütülmesi ;  $w(n)$ ,  $R$  ile  $T$  arasındaki korelasyonu en büyük yapacak bir şekilde seçilir.

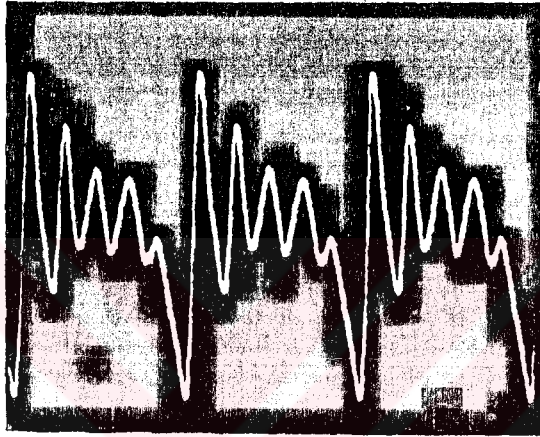
4) Dinamik zaman saptırma, saptırma eğrisi aşağıdaki optimizasyon probleminin çözümü olarak bulunur :

$$D^* = \min_{w(n)} \sum_{n=1}^{Nt} d(T(n), R(w(n))) \quad (57)$$

Burada  $d(T(n))$  ile  $R(w(n))$ , deney örüntüsünün  $n$  'inci çerçevesi ile başvuru örüntüsünün  $w(n)$  'inci çerçevesi arasındaki uzaklıktır.

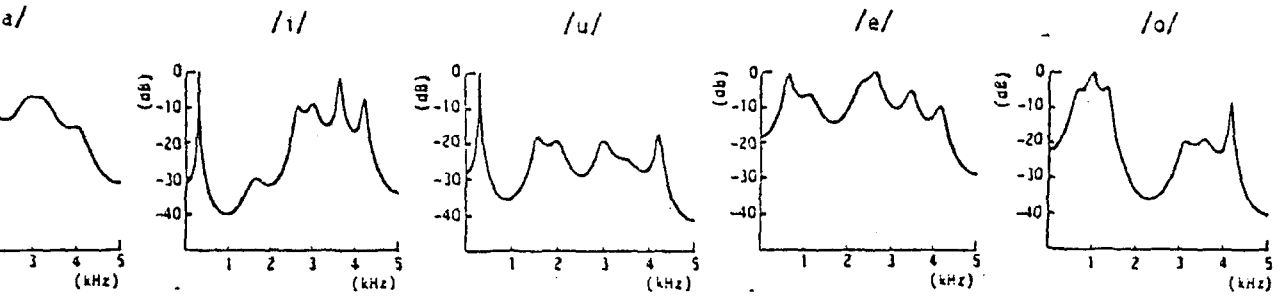


(a)



(b)

**ŞEKİL 5.7 :** Bazı Seslilerin Zaman Boyutundaki Dalga Şekilleri  
a) "A" seslisine ait b) "O" seslisine ait



**ŞEKİL 5.8 :** 12 Kutuplu bir Doğrusal Öngörü Kodlaması sonucu bulunacak seslere ait spektral zarflar

#### 5.4) ÇERÇEVEDEN ÇERÇEVEYE UZAKLIK ÖLÇÜLERİ

(57) eşitli inin optizasyonu için öncelikle  $d(\cdot)$  uzaklık ölçüsünün (metri inin) tanımlanması gerekir. Çeşitli uzaklık ölçüleri kullanılabilir. Örne in, basit bir *Euclidean Uzaklık Ölçüsü* kullanılırsa :

$$d(T, R) = \sum_{i=0}^p (T_i - R_i)^2 \quad (58)$$

Buradaki  $T_i$  ve  $R_i$  ,  $i$  'inci vectör bileşenleridir. Bu uzaklık ölçüsü sık sık kullanılır.

Kullanılabilecek bir başka uzaklık ölçüsü *Kovaryans A ırlıklı* uzaklık ölçüsüdür. Bu uzaklık aşağıdaki gibi tanımlanır :

$$d(T, R) = (T - R)W^{-1}(T - R)^T \quad (59)$$

Burada,  $W^{-1}$  , kullanılan özelli in kovaryans matrisinin tersidir. Bu matrisin beklenen de eri şudur :

$$\varepsilon[W] = (1/N) \sum_{i=1}^N (x_i - \varepsilon[x])(x_i - \varepsilon[x])^T \quad (60)$$

$x_i$  ,  $i$  'inci çerçeveye ait özellik kümesi ve  $N$  isetoplam çerçeve sayısıdır. Burada kovaryans a ırlı mın kullanılması, özellikler arasındaki korelasyonu uyumlandırır ve uzaklı m tamamında tüm özelliklere a ırlık verilmesini sa lar.

*Spektral uzaklık* ölçüsü kullanılırsa, bu ölçü için önce test ve başvuru örüntülerinin logaritmik spektrumu elde edilmelidir ve uzaklık ise şu şekilde verilir :

$$d(T, R) = \int_w \left[ \log(T(e^{jw})) - \log(R(e^{jw})) \right]^2 dw \quad (61)$$

Burada integral, ilgilenilen frekans aralı mda alınır.

LPC olabilirlik ölçüsü ise Itakura tarafından geliştirilmiştir (1975) ve LPC parametrelerinden oluşan özellik kümeleri için son derece faydalıdır. Bu uzaklık ölçüsü şu şekilde verilebilir :

$$d(T, R) = \log \left[ \frac{(a_R V_T a_R^T)}{(a_T V_T a_T^T)} \right] \quad (62)$$

Burada  $a_R$  ve  $a_T$  sırasıyla çerçevedeki, test ve başvuru örüntülerinin do rusal öngörü katsayılarından oluşan vektörler;  $V_T$  ise test örüntüsüne ait korelasyon katsayılarından oluşan matristir.

Herhangi bir uzaklık ölçüsünün en önemli özelliklerinden biri hesaplanabilme hızıdır. Çünkü uzaklık ölçülerinin hesabı örüntü tanıma işleminde en uzun süre alan hesaptır. Bu yüzden yukarıda anlatılmış olan uzaklık ölçüleri için daha hızlı hesaplama yöntemleri geliştirilmiştir. Bu açıdan problemi tekrar ele alırsak aşağıdaki sonuçları elde ederiz :

1) Euclide uzaklığı ;

Bu uzaklık ölçüsünün hesaplanması  $(p+1)$  çarpma,  $(p+1)$  çıkarma,  $(p+1)$  toplama işlemi gerektirir. Farkların kareleri yerine kendileri do rudan toplanırsa çarpma işlemlerinden kurtulmuş olunur.

2) Kovaryans a ırlıklı uzaklık;

Bu uzaklığın hesaplanması  $(p+1)^2$  çarpım ve toplam içerir.  $p$ 'nin mantıklı herhangi bir de eri için bu hesaplama oldukça uzun sürer.

3) Spektral uzaklık;

Bu uzaklık, bir integralin veya kesikli yaklaşımın hesabını gerektirir. Her iki durumda da hesap uzun olacaktır. Bu hesabı kolaylaştırma yolları 1976 yılında Gray tarafından açıklanmıştır. (örneğin hiperbolik kosinüs açılımı gibi)

## 6) GELİŞTİRİLEN BİLGİSAYAR PROGRAMLARI

Türkçe 'deki seslilerin tanınmasını yapacak olan programların yazımında Turbo C++ kullanılmıştır. C programlama dilinin tercih nedeni, derleyicinin hızlı çalışan amaç kod üretebilmesi, hızlı çalışan programların oluşturulabilmesi için kitaplık alt programlarına izin vermesi, programcıyı kısıtlamaması olarak özetlenebilir.

Programlar küçük modüller halinde yazıldı ndan ve bu modüller birer kitaplık alt programı haline getirildi inden, programların kullandığı fonksiyonların kaynak kodlarının verilmesi yeterli görülmüştür. Bu fonksiyonlar şunlardır :

***void preemp(char \*f\_name) :***

Bu fonksiyon, f\_name adlı dosyadaki ses işaretini preemphasis filtresinden geçirir ve sonucu f\_name.pr adlı dosyada saklar. Bu filtreleme aşağıdaki filtre transfer fonksiyonuna göre çalışır.

$$H(z) = 1.0 - a * z^{-1}$$

***void remove\_silence(char \*f\_name) :***

Bu fonksiyon f\_name adlı dosyadaki ses işaretinden, ses içermeyen kısımları çıkarır ve sonuçta elde edilen işareti out adlı dosyada saklar. Bu işlem ses işaretinde bloklanan çerçevelerdeki enerjilerin hesaplanması ile başlar ve minimum enerji hesaplanır. Daha sonra  $1.035 * (\text{minimum enerji})$  de erinden daha küçük enerjiye sahip çerçeveler dosyadan çıkarılır.

***void frame(char \*f\_name) :***

Bu fonksiyon f\_name adlı dosyadaki ses işaretinden, %50 oranında üst üste binmiş çerçeveler oluşturur. Bir başka deyişle, e er, L tane toplam çerçeve var ise sonuç işaret ,  $2 * L - 1$  çerçeve içerecektir. Sonuçta elde edilen işaret f\_name.fr adlı dosyada saklanacaktır.

***void Hamming(char \*f\_name) :***

Hamming(.) fonksiyonu, f\_name adlı dosyadan aldığı ses işaretini bir Hamming penceresi ile pencereler. Hamming pencere fonksiyonu şu şekilde verilebilir :

$$w_H(n) = 0.54 - 0.46 \cos(2\pi n / (N - 1))$$

Burada N çerçeve genişli idir. Sonuçta elde edilen çerçeve genişli i f\_name.wn adlı dosyada saklanacaktır.

***void Durbin(char \*f\_name) :***

Bu fonksiyon sesişaretini f\_name adlı dosyadan okuduktan sonra, konuşulan sesliye ait özelliklerine Durbin çözümleme algoritmasına göre hesaplar ve sonuçta elde edilen özellikleri f\_name adlı dosyada saklar:

***void feature(char f\_name) :***

Bu fonksiyon f\_name adlı her bir sesliye ait özellikleri f\_name1,...,f\_name(n) adlı dosyalardan okuyarak ortalaması alınmış başvuru özellikli vektörünü oluşturur. Sonuç başvuru özellik vektörü feature adlı dosyada saklanır.

*void dp\_Sakoe(int n) :*

Bu fonksiyon, feature.n adlı başvuru dosyasındaki özellik vektörünü, feature.t adlı test işareti özelliklerini içeren dosyadaki özellik vektörü ile eş zamanlayarak karşılaştırır. Fonsiyondan dönen de er iki örüntü arasındaki uzaklıktır.

*eu.c :*

Bu program, basit olarak iki örüntü arasındaki uzaklı ı Euclide uzaklı mı hesaplar. Hesaplanan euclide uzaklı ı aş a ıdaki gibidir.

$$D = (R - T)^T (R - T)$$

Burada T ile R , sırasıyla karşılaştırılan başvuru ve test örüntüleridir.

*maha.c :*

Bu program, verilen başvuru ve test örüntüleri arasındaki Mahalanobis uzaklı mı hesaplar. Bu uzaklık aş a ıdaki gibi hesaplanır :

$$d(T, R) = (T - R)W^{-1}(T - R)^T$$

Burada, W , test örüntülerinin kovaryans matrisidir ve aş a ıdaki gibi tahmin edilir :

$$W = (1/N) \sum_{i=1}^N (x_i - \varepsilon[x])(x_i - \varepsilon[x])^T$$

Burada, N test örüntülerindeki toplam çerçeve sayısı ve  $x_i$  ise çerçeveye ait örüntülerdir.

*cov.c :*

Bu program, cov dosya1 dosya2 şeklinde işletilir ve sonuçta dosya1 ile dosya2 arasındaki kovaryans matrisini hesaplar. Sonuçta elde edilen kovaryans matrisi W adlı dosyada saklanır.

*fmi.c :*

Bu program, fmi d b s y a N biçiminde işletilir ve dosyadaki N\*N boyutundaki kare matrisin tersi alınır. E er matrisin determinantı  $1.0 * 10^{-15}$  'den daha küçükse tekil matris tanısı ile birlikte bir hata mesajı verilir ve programın çalışması sona erer. fmi.c programı tamamen paralel olan Modified Csanky Metodunu kullanır ve  $(\log_2 N)^2$  işlemde çarpma ve bölme matrisinin tersini alır. İşlem sayısı, Gauss yoketme yöntemi için  $N^3$  , L-U (Lower Upper) ayrıştırma yöntemi (alt ve üst üçgen matrislere ayırma) için yaklaşık  $N^2$  'dir.

## 7) SONUÇLAR :

Gerçekleştirilen deneylerde 10 KHz örnekleme frekansında, 0.8 msn 'lik konuşma örnekleri, orta kalitede bir dinamik mikrofondan alınarak kaydedilmiştir. Seslerin kaydedildi i işaret gücü-gürültü gücü oranı yaklaşık olarak 30 dB kadardır. Ortam gürültüsü işlem performansı ve sonuç başarımları üzerinde önemli bir etkiye sahiptir.

Deneyde önce, ses kalitesi göz önüne alınmaksızın, başvuru örüntüsünü oluşturacak girişler alınır. Sonra tanıma işlemi için gerekli olan ses özellik vektörleri do rusal öngörü kodlaması teknikleri kullanılarak elde edilir. Verilen test örüntülerinin tanınması için kısa süreli bir e itme kullanılır. Örüntü tanıma işlemi Euclide, Mahalanobis ve Dinamik Zaman Saptırma uzaklıklarının her biri ayrı ayrı kullanılarak sonuçlar araştırılmıştır. Ancak gerek Euclide, gerek Mahalanobis ve gerekse Dinamik Zaman Saptırması kullanılarak yapılan karşılaştırmalarda başarılı sonuçlar elde edilememiştir. Dinamik zaman saptırması yönteminde di erlerine göre do ruya biraz daha yakın sonuçlara rastlanmıştır.

Yeni test girişleri alınmaksızın, daha önce başvuru örüntüsünü oluşturmada kullanılan girişlerden birisi test girişi kabul edilirse; performansta iyileşmeler görülmüştür. Bu durumda her üç uzaklık ölçüsü için de elde edilen başarımları oranları şu şekildedir :

	Euclide	Mahalanobis	Dinamik Z.S.
Başarı (%) :	42	61	76

Sonuç performansının daha başarılı sonuçlar vermesi öncelikle alınan kayıtların daha iyileştirilmesine ba lıdır. Buna ek olarak daha uzun süreli e itmenin de tanıma işlemine katkısı vardır. Modellemedeki kutup sayısının ve örnekleme çözünürlü ünün arttırımı da (ses için 12 veya 14 bit/örnek 'lik çözünürlük seçilmesi gibi) performansı arttıracaktır.

## **KAYNAKLAR :**

- 1 ) Akaike, H., A New Look at Statistical Model Identification,  
IEEE Trans. on Automatic Control , Dec. 1974
- 2 ) Atal, B. S. , Automatic Recognition of Speakers From Their Voices,  
Proc. IEEE , April 1976
- 3) Flanagan, J. L., Properties of the Speech Signal,  
The Journal of the Acoustical Society of America, vol.51, pp.1375-1387,  
Mar. 1972
- 4) Gray, A. H., et. al., Distance Measures for Speech,  
Proc. IEEE Trans. on ASSP, Oct. 1976
- 5 ) Itakura, F., Minimum Prediction Residual Principle Applied to Speech Recognition  
IEEE Trans. on ASSP, Vol. 23, Feb. 1975
- 6 ) Makhoul, J., Linear Prediction : A Tutorial Review,  
Proc. IEEE, April 1975
- 7 ) Makhoul, J., Spectral Analysis of Speech by Linear Prediction,  
IEEE Trans. on Audio and Electroacoustics, June 1973
- 8 ) Markel, J. D., et. al., Linear Prediction of Speech ,  
Springer-Verlag , Berlin, 1976
- 9 ) Miyoshi, Y., et. al., Analysis of Speech Signals of Short Pitch Period by a Sample  
Selective Linear Prediction,  
IEEE Trans. on Acoustics, Speech and Signal Processing, Sep. 1987
- 10) Rabiner, L. R., et. al., Digital Processing of Speech Signals,  
Prentice-Hall Inc., Englewood Cliffs, New Jersey, 1978
- 11) Rabiner, L. R., Levinson, S. E., Isolated and Connected Word Recognition  
Theory and Selected Applications,  
IEEE Trans. on Acoustics Speech and Signal Processing , Feb. 1981
- 12) Reddy, D. R., Speech Recognition by Machine  
Proc. IEEE ,vol.64, pp. 501-531, April 1976
- 13)Rosenberg, A., et. al., New Techniques for Automatic Speaker Verification,  
IEEE Trans. on ASSP, vol.23, pp.169-176 , 1976
- 13)Schafer, R. W., et. al., System for Formant Analysis of Voiced Speech,  
The Journal of the Acoustical Society of America, vol.47, pp.634-648,  
Feb. 1970
- 14) Schafer, R. W., et. al., Digital Representation of Speech Signals,  
Proc. IEEE, vol.63, pp.662-677 , Apr. 1975

## **ÖZGEÇMİŞ**

1968 yılında İstanbul 'da doğdu. İlk ve orta öğrenimini İstanbul 'da tamamladı. İstanbul Ataköy Lisesi Yabancı Dil Kolundan 1985 yılında mezun olarak aynı yıl açılan ÖSYM sınavları sonucunda Yıldız Üniversitesi Elektronik ve Haberleşme Bölümüne girdi. 1990 yılında mezun olup, aynı yıl Yıldız Teknik Üniversitesi 'nde açılan yüksek lisans sınavlarını kazanarak F.B.E Elektronik Anabilimdalında yüksek lisansa başladı.

PREEMP.C  
-----

```
/*  
This function preemphasizes "f_name" into "f_name.pr"  
in accordance with simulation of the digital low pas filter  
frequency domain transfer function :
```

$$H(z) = 1.0 - a * z^{-1}$$

```
where a is chosen as 0.9375 proposedly.
```

```
*/
```

```
void preemp(f_name)  
char f_name[10];
```

```
{  
FILE *fp1,*fp2;  
int stream,str,dummy;  
  
fp1=fopen(f_name,"r");  
strcat(f_name,"pr");  
fp2=fopen(f_name,"w");  
if (!fp1 || !fp2){  
    printf(" \n Unable to open ....");  
    exit (1);  
}  
fscanf(fp1,"%d",&dummy);  
fprintf(fp2,"%d\n",dummy);  
for(;;) {  
    fscanf(fp1,"%d",&stream);  
    if(!feof(fp1)){  
        str=stream-0.9375*dummy;  
        fprintf(fp2,"%d\n",str);  
        dummy=stream;  
    }  
    else break;  
}  
fclose(fp1);  
fclose(fp2);  
}
```

REMOVE\_SILENCE.C

-----

```
remove_silence(f_name)
{
    float find_min();
    float energy();
    FILE *fp1,*fp2;
    long int offset;
    float E[200];
    float min_E;
    float frame[200];
    float threshold;
    float temp;
    register int i,j;
    int j_max;
    fp1=fopen(f_name,"r");
    fp2=fopen("out","w");
    if(!fp1||!fp2){
        printf("Unable to open.....");
        exit(1);
    }
    for(;;) {
        for(j=0;j<200;j++){
            for(i=0;i<fr_size;i++){
                fscanf(fp1,"%f",&frame[i]);
                iffeof(fp1) break;
            }
            iffeof(fp1) break;
            E[j]=energy(frame,fr_size);
            j_max=j;
        }
        iffeof(fp1) break;
    }
    min_E=find_min(E,j_max);
    fseek(fp1,0L,0);
    threshold=1.035*min_E;
    for (i=0;i<=j_max;i++) {
        for (j=0;j<fr_size;j++){
            fscanf(fp1,"%f",&temp);
            if(E[i]>threshold)
                fprintf(fp2,"%f\n",temp);
        }
    }
    fclose(fp1);
    fclose(fp2);
}
```

```
float energy(fr,fr_size)
```

```
int fr_size;
```

```
float fr[];
```

```
{
```

```
    register int i;
```

```
float sum=0.0;
for (i=0;i<fr_size;i++)
    sum+=fr[i]*fr[i];
return sum;
}
```

```
float find_min(E,max_index)
float E[200];
int max_index;
{
    register int i;
    float min=E[0];
    for (i=1;i<=max_index;i++)
        min = (min<E[i] ? min : E[i]);
    return min;
}
```



FRAME.C

-----

```
/*
This function produces overlapped frames from
file "f_name" and stores the result in the
"f_name.fr" .
*/
```

```
void frame(f_name)
char f_name[10];
{
    FILE *fp1,*fp2;
    register int i,j;
    int buf1[200],buf2[200];
    fp1=fopen(f_name,"r");
    strcat(f_name,".fr");
    fp2=fopen(f_name,"w");
    if ( !fp1 || !fp2) {
        printf(" \n  Unable to Open !\n");
        exit(1);
    }
    for (i=0;i<n_frames;i++) {
        for (j=0;j<90;j++)
            fscanf(fp1,"%d",&buf1[j]);
        for (j=90;j<180;j++)
            fscanf(fp1,"%d",&buf2[j-90]);
        if(i!=0){
            for (j=0;j<90;j++)
                fprintf(fp2,"%d\n",buf1[j]);
        }
        for (j=0;j<90;j++)
            fprintf(fp2,"%d\n",buf1[j]);
        for (j=90;j<180;j++)
            fprintf(fp2,"%d\n",buf2[j-90]);
        if (i!=n_frames-1) {
            for (j=90;j<180;j++)
                fprintf(fp2,"%d\n",buf2[j-90]);
        }
    }
    fclose(fp1);
    fclose(fp2);
}
```

```

-----

/*
This function Hamming_windows the data in
"f_name" and stores the result in "f_name.wn"
according to the relationship :
    s'[n]=s[n]*w[n] ,
where w[n] is the Hamming window function and
given as
    w[n]= 0.54 - 0.46 * cos ( 2*pi*n / (N-1) ) ,
where N is the window size and n=0,...,N-1.
*/

void Hamming(f_name)
char f_name[10];
{
FILE *fp1,*fp2;
float frame[180];
int w_size=180;
register int n,nf;
float pi=3.14159265;
float w;
double temp;
fp1=fopen(f_name,"r");
strcat(f_name,"wn");
fp2=fopen(f_name,"w");
if( !fp1 || !fp2) {
    printf("\n Unable to open ..... \n");
    exit(1);
}
for(nf=0;nf<n_frames;nf++) {
    for (n=0;n<w_size ;n++) {
        fscanf(fp1,"%f",&frame[n]);
        if(feof(fp1)) break;
        temp = 2*pi*((float)n /((float)( w_size-1)));
        w= 0.54 - 0.46*cos(temp);
        frame[n] *= w;
        fprintf(fp2,"%f\n",frame[n]);
    }
}
fclose(fp1);
fclose(fp2);
}

```

DURBIN.C

-----

/\*

This function calculates the PARTIAL CORrelation coefficients for each frame in file "f\_name" and stores the results in "f\_name.du". The algorithm used is due to Durbin and which is known to be the fastest !

\*/

void durbin(f\_name)

char f\_name[10];

{

FILE \*fp1,\*fp2;

int p=12;

int nf;

register int i,j;

float E[13];

float R[13];

float A[13][13];

float a[13];

float k[13];

float sum;

fp1=fopen(f\_name,"r");

strcat(f\_name,"du");

fp2=fopen(f\_name,"w");

if (!fp1 || !fp2) {

printf(" \n Unable to Open !\n");

exit(1);

}

for(nf=0;nf<n\_frames;nf++){

for (i=0;i<=p;i++)

fscanf(fp1,"%f",&R[i]);

k[0]=a[0]=A[0][0]=0.0;

E[0]=R[0]; /\* initial condition ... \*/

for(i=1;i<=p;i++) {

sum=0.0;

for(j=1;j<i;j++)

sum+=A[j][i-1]\*R[i-j];

k[i]=(R[i]-sum)/E[i-1];

A[i][i]=k[i];

for(j=1;j<i;j++)

A[j][i]=A[j][i-1]-k[i]\*A[i-j][i-1];

E[i]=(1-k[i]\*k[i])\*E[i-1];

}

for(i=1;i<=p;i++)

a[i]=A[i][p];

for (i=1;i<=p;i++)

fprintf(fp2,"%f\n",k[i]);

}

fclose(fp1);

fclose(fp2);

}

## FEATURE.C

-----

```
/*
This function averages the partial correlation
coefficients in file "f_name" and stores the
final set in file "feature.i" where i
indicates the i'th speaker.
*/

void feature(f_name,i)
char f_name[10];
int i;
{
FILE *fp1,*fp2;
int p=12;
char alpha_i[10];
char out_f_name[]="feature";
float k[13];
register int i,j,nf;
fp1=fopen(f_name,"r");
if(i) {
    itoa(i,alpha_i,10);
    strcat(out_f_name,alpha_i);
}
else
strcat(out_f_name,".t");
fp2=fopen(out_f_name,"w");
if (!fp1 || !fp2) {
    printf("\n Unable to Open !\n");
    exit(1);
}
for (i=0;i<13)
    k[i]=0.0;
for (nf=0;nf<n_frames;nf++) {
    for (j=1;j<13;j++) {
        fscanf(fp1,"%f",&stream);
        k[j]+=stream;
    }
}
fclose(fp1);
for (j=1,j<13;j++) {
    k[j]/=n_frames;
    fprintf(fp2,"%f",k[j]);
}
fclose(fp2);
}
```

```

-----

/*
This function produces a distance score as a measure
of similarity between two patterns stored in files
"feature.i" and "feature.t" . The algorithm of this
procedure is due to Sakoe and known to be
the last version of the dynamic programming approach
to pattern matching .
*/
float dp_sakoe(n)
int n;
{
FILE *fp1,*fp2;
int i,j;
int I=12,J=12,N=12;
float R[13],T[13];
int r=6;
float g[13][13];
float c1,c2,c3;
float D;
float temp,dist;
char f_name[]="feature.";
char alpha_i[10];
itoa(n,alpha_i,10);
strcat(f_name,alpha_i);
fp1=fopen(f_name,"r");
fp2=fopen("feature.t","r");
if ( !fp1 || !fp2 ) {
printf(" \n Unable to Open !\n");
exit(1);
}
T[0]=R[0]=0.0;
for(i=1;i<=12;i++) {
fscanf(fp1,"%f",&R[i]);
fscanf(fp2,"%f",&T[i]);
}
fclose(fp1);
fclose(fp2);
for(i=0;i<13;i++) /* initial condition ... */
for (j=0;j<13;j++) g[i][j]=0.0;
i=1;
j=1;
g[1][1]=2*(R[1]-T[1])*(R[1]-T[1]);
i=i+1;
for(;;) {
if(i>j-r) {
j++;
if(j>J) {
/* T.N distance; */
D=g[I][J]/(float)N;
return D;
}
else i=j-r;
}
else {
if(i<0) i++;
else {
if(i>I) i++;
else {

```

```
/* D.P. eqn. */
dist=(R[i]-T[j])*(R[i]-T[j]);
c1=g[i][j-1]+dist;
c2=g[i-1][j-1]+2*dist;
c3=g[i-1][j]+dist;
temp=(c1<c2) ? c1: c2;
temp=(temp<c3) ? temp :c3;
g[i][j]=temp;
i++;
```

```
}
}
}
```



EU.C

-----

```
/* EU.C */

# include <stdio.h>
# include <stdlib.h>
# include <ctype.h>
# include <process.h>
# include <string.h>
# include <math.h>

main(argc,argv)
int argc;
char *argv[];
{
FILE *fp1,*fp2,*fp3;
int i;
float R[12],T[12];
float D=0;
char *str;
if (argc != 3) {
    printf("\n      Usage :\n");
    printf("\n      eu   ref test \n");
    exit(0);
}
fp1=fopen(argv[1],"r");
fp2=fopen(argv[2],"r");
fp3=fopen("result","a");
if ( !fp1 || !fp2 || !fp3) {
    printf("\n      Unable to Open !\n");
    exit(1);
}
strcpy (str,argv[1]);
strcat (str,"<--->");
strcat (str,argv[2]);
for(i=0;i<12;i++) {
    fscanf(fp1,"%f",&R[i]);
    fscanf(fp2,"%f",&T[i]);
}
fclose(fp1);
fclose(fp2);
for (i=0;i<12;i++) D+=(R[i]-T[i])*(R[i]-T[i]);
D=sqrt((double)D);
fprintf(fp3,"      %-15s  %-15f\n ",str,D);
fclose(fp3);
return 0;
}
```

MAHA.C

-----

```
/* MAHA.C */
# include <stdio.h>
# include <stdlib.h>
# include <ctype.h>
# include <process.h>
# include <string.h>
# include <math.h>

main(argc,argv)
int argc;
char *argv[];
{
FILE *fp1,*fp2,*fp3,*fp4;
register int i,j,k;
float R[12],T[12],W[12][12],temp[12];
float sum,D;
char *str;

if (argc != 4) {
printf("\n Usage :\n");
printf("\n maha ref test cov.name\n");
exit(0);
}
fp1=fopen(argv[1],"r");
fp2=fopen(argv[2],"r");
fp3=fopen(argv[3],"r");
fp4=fopen("result","a");
if ( !fp1 || !fp2 || !fp3) {
printf(" \n Unable to Open !\n");
exit(1);
}
strcpy (str,argv[1]);
strcat (str,"<--->");
strcat (str,argv[2]);
for(i=0;i<12;i++) {
fscanf(fp1,"%f",&R[i]);
fscanf(fp2,"%f",&T[i]);
}
for(i=0;i<12;i++) {
for(j=0;j<12;j++) {
fscanf(fp3,"%f",&W[i][j]);
}
}
fclose(fp1);
fclose(fp2);
fclose(fp3);
for(j=0;j<12;j++) temp[j]=(T[j]-R[j]);
D=0.0;
for(i=0;i<12;i++) {
sum=0.0;
for(j=0;j<12;j++) {
sum+=W[i][j]*temp[j];
}
D+=temp[i]*sum;
}
fprintf(fp4," %-15s %-15f\n ",str,fabs((double)D));
fclose(fp4);
}
```

COV.C

-----

```
/* COV.C */

# include <stdio.h>
# include <process.h>
# include <math.h>

main(argc,argv)
int argc;
char *argv[];
{
    FILE *fp1,*fp2,*fp3;
    float x[12],y[12],cov[12][12],temp;
    register int i,j;
    if(argc!=3) {
        printf("\n Usage cov ref1 ref2\n");
        exit(0);
    }
    fp1=fopen(argv[1],"r");
    fp2=fopen(argv[2],"r");
    fp3=fopen("w","w");
    if(!fp1 || !fp2 || !fp3) {
        printf("\n Unable to open file ... \n");
        exit(1);
    }
    for(i=0;i<12;i++) fscanf(fp1,"%f",&x[i]);
    for(i=0;i<12;i++) fscanf(fp2,"%f",&y[i]);
    for(i=0;i<12;i++) {
        for(j=0;j<12;j++) {
            cov[i][j]=x[i]*y[j];
            temp=cov[i][j];
            fprintf(fp3,"%f ",temp);
        }
        fprintf(fp3,"\n ");
    }
    fclose(fp1);
    fclose(fp2);
    fclose(fp3);
    return 0;
}
```

```
# include <stdio.h>
# include <stdlib.h>
# include <alloc.h>
# include <process.h>
# include <math.h>
# include <conio.h>

int main(argc,argv)
int argc;
char *argv[];
{
    FILE *fpr,*fpw;
    register int i,j;
    float temp,*A,*B;
    int N;
    float *invert();
    if(argc!=3){
        clrscr();
        printf("\n\n      FMI - Fast Matrix Inverter\n ");
        printf("\n      (c) NESET ONCUL 1992, Hacettepe U. " );
        printf("\n\n      Usage: " );
        printf("\n      fmi [File name] [Dimension]\n ");
        printf("\n      File name is a DOS file in which the '
        printf("\n      matrix to be inverted is contained '
        printf("\n      and Dimension is the number of the rows '
        printf("\n      or columns of it... The inverse of the '
        printf("\n      matrix is stored in file INV.FMI... '
        printf("\n\n      Example:   fmi matrix 15 \n\n" );
        exit(0);
    }

    fpr=fopen(argv[1],"r");
    if(!fpr){
        printf("\n Unable to open %s...",argv[1]);
        exit(1);
    }

    N=atoi(argv[2]);
    if(N<=0){
        printf(" Wrong Dimension...\n");
        exit(0);
    }

    fpw=fopen("INV.FMI","w");
    if(!fpw){
        printf("\n Unable to open INV.FMI to write the result...\n"
        exit(1);
    }

    A=(float *)malloc(N*N*sizeof(float));
    if(!A) exit(1);
```

```

for(i=0;i<N;i++){
    for(j=0;j<N;j++) {
        fscanf(fpr,"%f",&temp);
        *A=temp;
        A++;
    }
}
A-=N*N;

printf("\n");

B=invert(A,N);
printf("\n      Inverse Matrix :  \n\n");

for(i=0;i<N;i++){
    for(j=0;j<N;j++) {
        printf(" %6.2e ",*B);
        fprintf(fpw," %10.5e ",*B);
        B++;
    }
    printf("\n");
    fprintf(fpw,"\n");
}

return 0;
}

float *invert(A,N)
float *A;
int N;
{
    register int i,j,k,l;
    float *B, *C;
    float *I;
    float *t;
    float *p;
    float *dummy,*res;
    float trace();
    float *add();
    float *mult();
    float *mult_by_scalar();
    float *solve_Toeplitz();
    float *powers_of_A;

    dummy=(float *)malloc(N*N*sizeof(float));
    if(!dummy) {
        printf("\n Memory allocation error..");
        exit(1);
    }

    res=(float *)malloc(N*N*sizeof(float));
    if(!res) {
        printf("\n Memory allocation error..");
        exit(1);
    }
}

```

```

t=(float *)malloc(N*sizeof(float));
if(!t) {
    printf("\n Memory allocation error..");
    exit(1);
}

I=(float *)malloc(N*N*sizeof(float));
if(!I) {
    printf("\n Memory allocation error..");
    exit(1);
}

powers_of_A=(float *)malloc((N+1)*N*N*sizeof(float));
if(!powers_of_A) {
    printf("\n Memory allocation error..");
    exit(1);
}

for(i=0;i<N;i++) {
    for (j=0;j<N;j++){
        I[N*i+j]=0.0;
        if(i==j) I[N*i+j]=1.0;
    }
}

dummy=&I[0];

for(i=0;i<N*N;i++) {
    *powers_of_A=*dummy;
    dummy++;
    powers_of_A++;
}

C=&I[0];

for(i=1;i<=N;i++){
    dummy=mult(C,A,N);
    *t=trace(dummy,N);
    t++;
    for(j=0;j<N*N;j++){
        *powers_of_A=*dummy;
        dummy++;
        powers_of_A++;
    }
    C=dummy-N*N;
}

powers_of_A--=(N+1)*N*N;
t--=N;

p=solve_Toeplitz(&t[0],N);
if(fabs(p[N-1])<1.0e-15) {
    printf("\n Singular Matrix...Aborting...\n");
    exit(0);
}

```

```

C=mult_by_scalar(-p[N-2]/p[N-1],I,N);
powers_of_A+=N*N;

for(i=1;i<=N-2;i++) {
    dummy=mult_by_scalar(-p[N-i-2]/p[N-1],powers_of_A,N);
    res=add(C,dummy,N);
    C=&res[0];
    powers_of_A+=N*N;
}

dummy=mult_by_scalar(-1.0/p[N-1],powers_of_A,N);
res=add(C,dummy,N);

return &res[0];
}

float trace(A,N)
float *A;
int N;
{
    float tr;
    register int i;

    tr=0.0;
    for(i=0;i<N;i++){
        tr+=A[N*i+1];
    }
    return (tr);
}

float *add(x,y,N)
float *x,*y;
int N;
{
    float *z;
    register int i,j;

    z=(float *)malloc(N*N*sizeof(float));
    if(!z) {
        printf("\n Memory allocation error..");
        exit(1);
    }

    for(i=0;i<N;i++){
        for(j=0;j<N;j++){
            *z=x[N*i+j]+y[N*i+j];
            z++;
        }
    }

    return (z-N*N);
}

float *mult_by_scalar(scalar,x,N)
float scalar,*x;
int N;
{

```

```

float *z;
register int i,j;

z=(float *)malloc(N*N*sizeof(float));
if(!z) {
    printf("\n Memory allocation error..");
    exit(1);
}

for(i=0;i<N;i++){
    for(j=0;j<N;j++){
        *z=x[N*i+j]*scalar;
        z++;
    }
}
return (z-N*N);
}

```

```

float *mult(x,y,N)
float *x,*y;
int N;

```

```

{
    float *z;
    float sum;
    register int i,j,k;

    z=(float *)malloc(N*N*sizeof(float));
    if(!z) {
        printf(" \n Memory allocation failure....\n");
        exit(1);
    }
    for(i=0;i<N;i++){
        for(j=0;j<N;j++){
            sum=0.0;
            for(k=0;k<N;k++) sum+=x[i*N+k]*y[k*N+j];
            *z=sum;
            z++;
        }
    }
    return (z-N*N);
}

```

```

float *solve_Toeplitz(t,N)
float *t;
int N;

```

```

{
    float *p;
    float sum;
    register int i,j;

    p=(float *)malloc(N*sizeof(float));
    if(!p) {
        printf("\n Memory allocation error..");
        exit(1);
    }

    p[0]=0.0;

```

```
for (i=0;i<N;i++) {  
    sum=0.0;  
    for(j=0;j<i;j++) sum+=p[j]*t[i-j-1];  
    p[i]= - (t[i]+sum) / ((float)(i+1));  
}  
return &p[0];
```



## VIEW.C

-----

/\* VIEW.C \*/

```
# include <stdio.h>
# include <stdlib.h>
# include <process.h>
# include <ctype.h>
# include <graphics.h>
# include <alloc.h>
# include <conio.h>
```

main(argc,argv)

```
int     argc;
char    *argv[];
```

```
{
FILE    *fp;
int     g_driver, g_mode;
register int i,j;
int dum;
int     *y,data_max,n_frames;
int     fr_size=580;
char    ch,c,*str,*fr;
```

```
struct points{
    int x,y;
} old,new;
```

```
if(argc!=2){
    printf("usage:   view [source_file]\n");
    exit(1);
}
```

```
printf("\n Specify Type of Data File  \n\n [A]scii or [I]nteger File
```

```
for(;;){
    ch=tolower( getch() );
    if( ch=='a' || ch=='i')break;
    else printf("\n Try Again ... (Press I or A )");
}
```

```
printf("\n\n Reading File: %s ...PLEASE WAIT...",argv[1]);
```

```
y=(int *)malloc(10000*sizeof(int));
if(!y){
    printf("memory request failed\n");
    exit(1);
}
```

```
fp=fopen(argv[1],"r");
```

```
if(!fp){
    printf("unable to open file : %s\n",argv[1]);
    exit(1);
}
```

```

j=0;
if( cho=='a'){
    while(!feof(fp)){
        fscanf(fp,"%c",&c);
        y[j]=(int)c;
        j++;
    }
}
if( cho=='i'){
    while(!feof(fp)){
        fscanf(fp,"%d",&dum);
        y[j]=dum;
        j++;
    }
}

j/=fr_size;
n_frames=j;

itoa(n_frames,fr,10);
for(j=0;j<n_frames;j++){
    for(i=0;i<fr_size;i++){
        y[j*fr_size+i]=-y[j*fr_size+i]+240;
    }
}

/*      initialize graph mode      */
detectgraph(&g_driver, &g_mode);
initgraph(&g_driver, &g_mode, "..\\bgi");
cleardevice();

settextstyle(TRIPLEX_FONT,HORIZ_DIR,2);
outtextxy(20,30,argv[1]);
settextstyle(DEFAULT_FONT,HORIZ_DIR,1);

outtextxy(0,110," 2.5v");
line(45,113,49,113);
outtextxy(0,176," 1.2v");
line(45,179,49,179);
outtextxy(0,237," 0 v");
line(45,240,49,240);
outtextxy(0,298,"-1.2v");
line(45,301,49,301);
outtextxy(0,364,"-2.5v");
line(45,367,49,367);
line(50,69,50,410);
line(50,410,639,410);
line(639,410,639,69);
line(639,69,50,69);
old.x=0;
old.y=240;
j=0;
outtextxy(100,10," SPEECH DATA VIEWING PROG. (c) NESET ONCUL, H.U.,

outtextxy(160,30," B: Backward          # smpls/fr   = 580 ");
outtextxy(160,45," F: Forward      X: eXit      TOTAL FRAMES = ");
outtextxy(505,45,fr);

```

```

while( j>=0 && j<n_frames ){
    itoa(j+1,str,10);
    setviewport(51,70,638,409,1);
    outtextxy(2,10," FRAME #:" );
    setbkcolor(BLACK);
    setcolor(WHITE);
    setttextstyle(TRIPLEX_FONT,HORIZ_DIR,2);
    if(j==0) outtextxy(100,0,"FIRST");
    else if(j==n_frames-1) outtextxy(100,0,"LAST");
        else outtextxy(100,0,str);
    setttextstyle(DEFAULT_FONT,HORIZ_DIR,1);

    setlinestyle(DASHED_LINE,1,1);
    line(0,170,fr_size+3,170);
    setlinestyle(SOLID_LINE,1,1);
    for(i=0;i<fr_size;i++){
        new.x=i;
        new.y=y[j*fr_size+i];
        line(old.x,old.y-70,new.x,new.y-70);
        old.x=new.x;
        old.y=new.y;
        if(i==fr_size-1) old.x=new.x-fr_size;
    }
/*
c=toupper(getch());
clearviewport();
if(c=='B')j--;
if(c=='F')j++;
if(c=='B'&&j==n_frames-1)j++;
if(c=='F'&&j==0)j--;
if(c=='X')break;
*/
for(;;){
    c=toupper(getch());
    if(c=='B' || c=='F' || c=='X') break;
}
clearviewport();
if(c=='B')j--;
if(c=='F')j++;
if(c=='B'&&j==n_frames-1)j++;
if(c=='F'&&j==0)j--;
if(c=='X')break;
}
closegraph();
return 0;
}

```

**T.C. YÜKSEKÖĞRETİM KURULU**  
**DEĞERLENDİRME VE YERLEŞTİRME BÜYÜK KURULU**